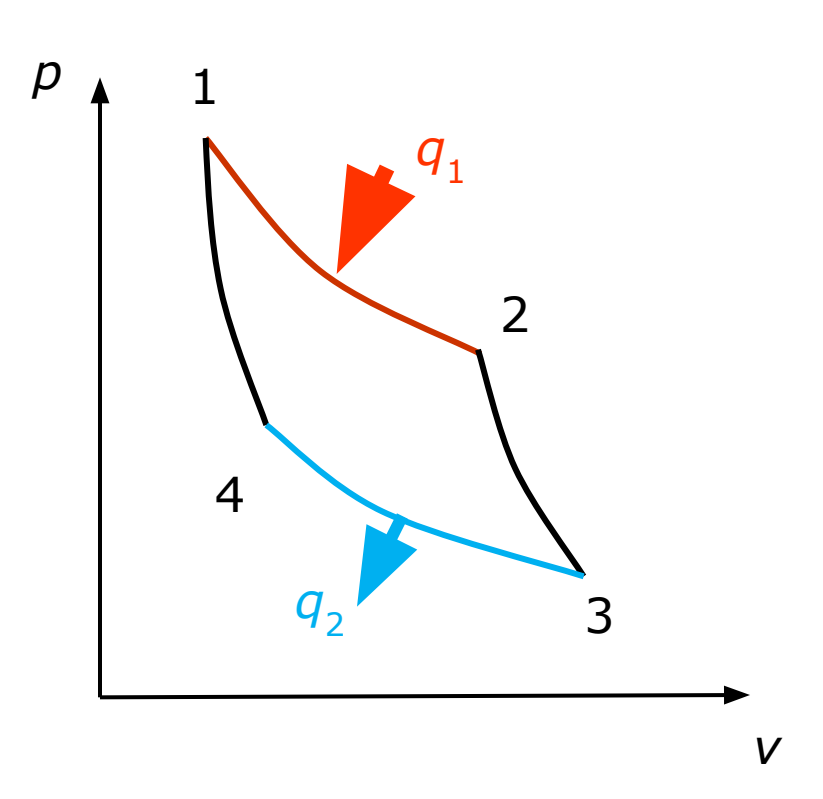
Термодинамические основы работы теплоэнергетических установок

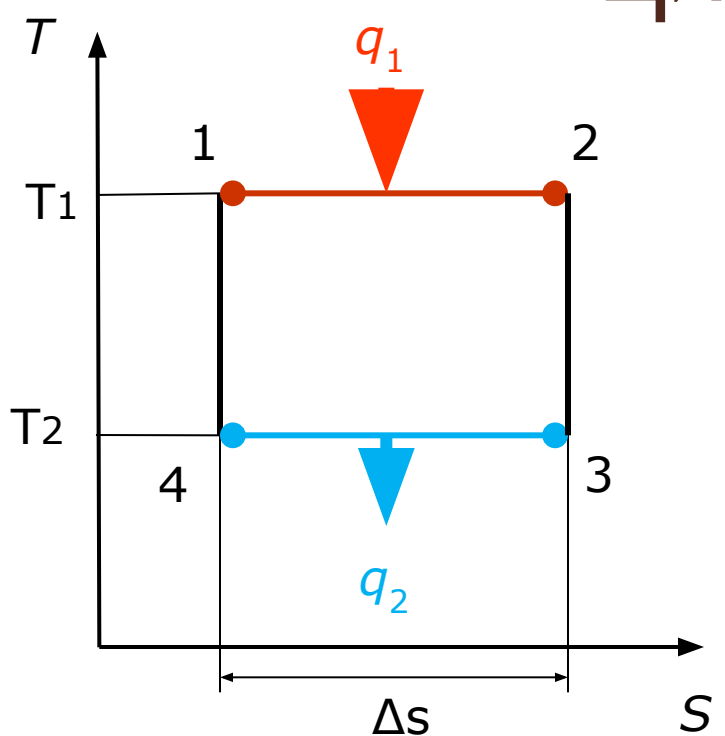
Циклы ДВС

Цикл Карно



- 1-2 изотермическое расширение
- 2-3 адиабатное расширение
- 3-4 изотермическое сжатие
- 4-1 адиабатное сжатие

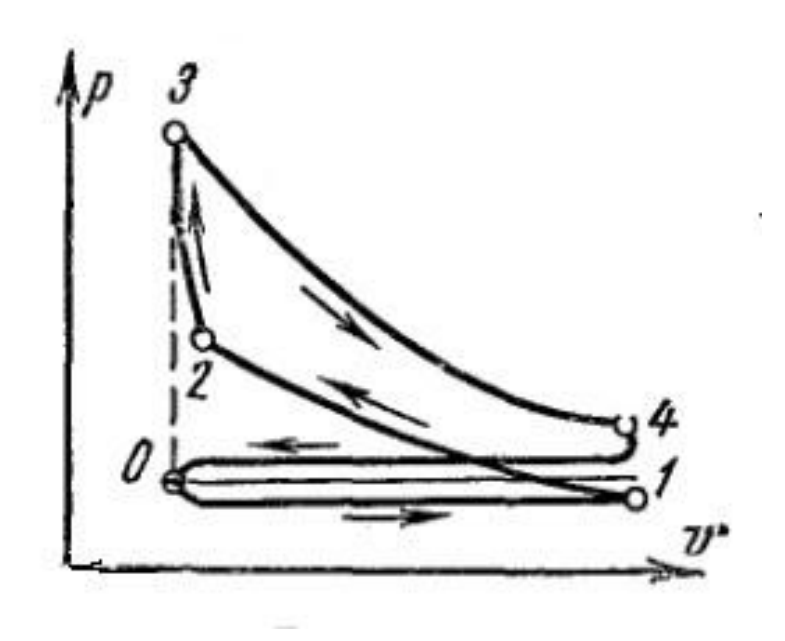
Цикл Карно



$$\eta_{t} = \frac{q_{1} - q_{2}}{q_{1}} = 1 - \frac{q_{2}}{q_{1}} = 1 - \frac{T_{2}\Delta s}{q_{1}} = 1 - \frac{T_{2}\Delta s}{T_{1}\Delta s} = 1 - \frac{2}{1}$$

Цикл Карно дает максимальное значение термического КПД в заданной диапазоне температур

Циклы ДВС



- 0- 1 процесс всасывания воздуха из атмосферы в цилиндр двигателя
- 1-2 процесс сжатия воздуха
- т.2 начало воспламенения топлива
- 2-3 изохорный подвод теплоты
- 3-4 процесс адиабатного расширения продуктов сгорания
- т. 4 открытие выхлопного клапана

4-0 – изохорный отвод теплоты (выхлоп дымовых газов в атмосферу)

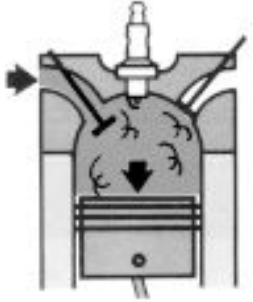
Циклы ДВС

- Масса рабочего тела не меняется
- При подводе теплоты (сжигании топлива) не происходит химических реакций.
- Не происходит побочных потерь теплоты, кроме основной во время выпуска газов.
- Процессы сжатия и расширения происходят адиабатно.
- Процесс отвода рабочего тела заменяется отводом теплоты через стенки цилиндра
- Все процессы считаются обратимыми
- Рабочим телом принимается идеальный газ

Теоретические циклы ДВС

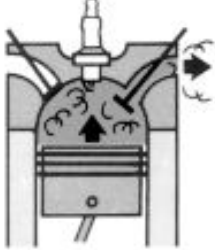


Цикл Отто









Открывается впускной клапан

Поршень движется вниз Цилиндр заполняется ТОПЛИВОВОЗДУШНО Й СМЕСЬЮ

Закрывается впускной



2-и такт: Сжатив Клапаны закрыты Поршень движется вверх Повышаются давление и

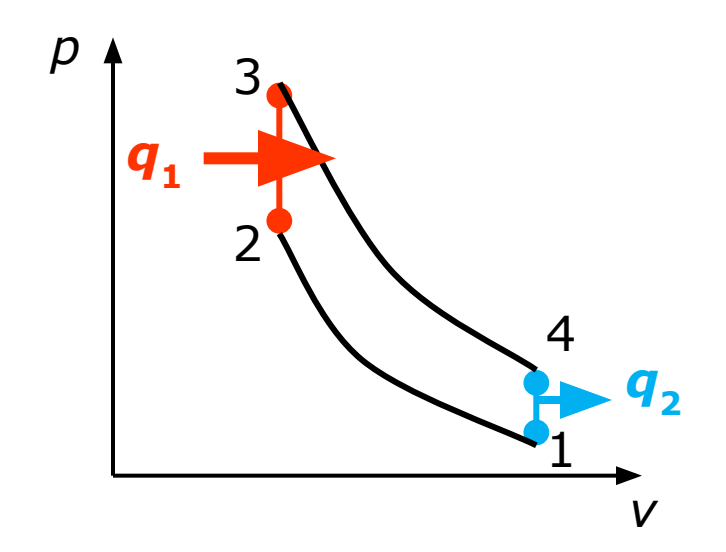


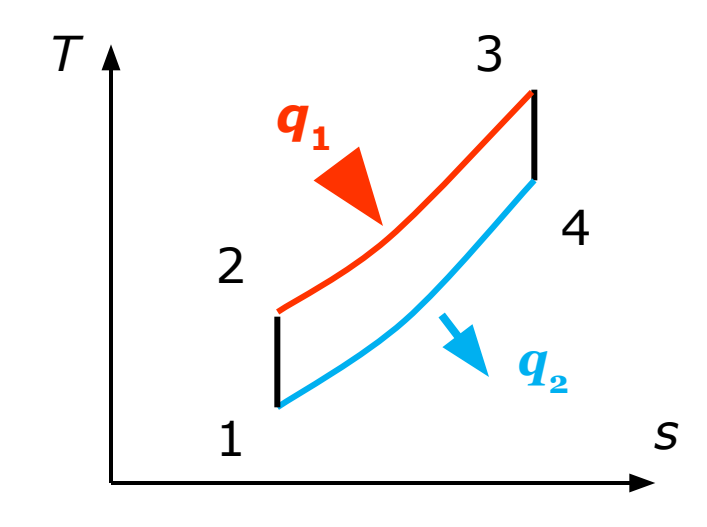
3-й такт СГОРАНИЕ-РАСШИРЕНИЕ Сгорание. Расширение.



Открывается выпускной клапан Поршень движется вверх и выталкивает

Цикл Отто





- 1-2 адиабатное сжатие рабочего тела
- 2-3 изохорный подвод теплоты
- 3-4 адиабатное расширение рабочего тела
- 4-1 изохорный отвод теплоты от рабочего тела к холодному источнику

Характеристики цикла Отто

•
$$\varepsilon = \frac{\upsilon_1}{\upsilon_2}$$

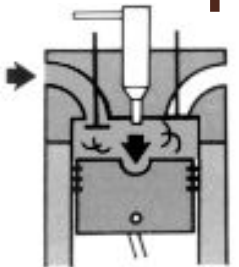
$$\lambda = \frac{p_3}{p_2}$$

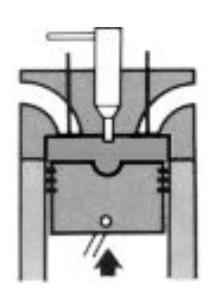
•
$$\eta_{t} = 1 - \frac{q_{2}}{q_{1}} = 1 - \frac{C_{v} \cdot (T_{4} - T_{1})}{C_{v} \cdot (T_{3} - T_{2})} = 1 - \frac{T_{1}}{T_{2}} \cdot \left(\frac{\frac{T_{4}}{T_{1}} - 1}{\frac{T_{3}}{T_{2}} - 1}\right) = 1 - \frac{1}{\varepsilon^{k-1}}$$

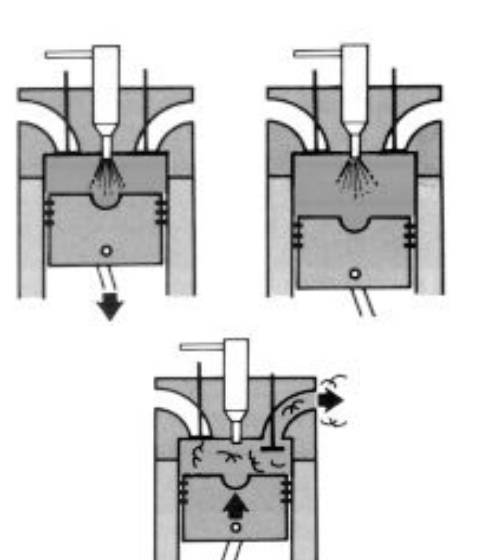
Необходимо отметить

- $\varepsilon = 7..11$
- Во время впуска в цилиндр поступает топливовоздушная смесь
- Топливовоздушная смесь воспламеняется благодаря электрическому заряду
- Сгорание происходит очень быстро
- $\eta_t = 25...30 \%$

Цикл Дизеля







Открывается впускной клапан
Поршень движется вниз
Цилиндр заполняется ВОЗДУХОМ
Закрывается впускной



Клапаны закрыты
Поршень движется
вверх
Значительно
повышаются давление и



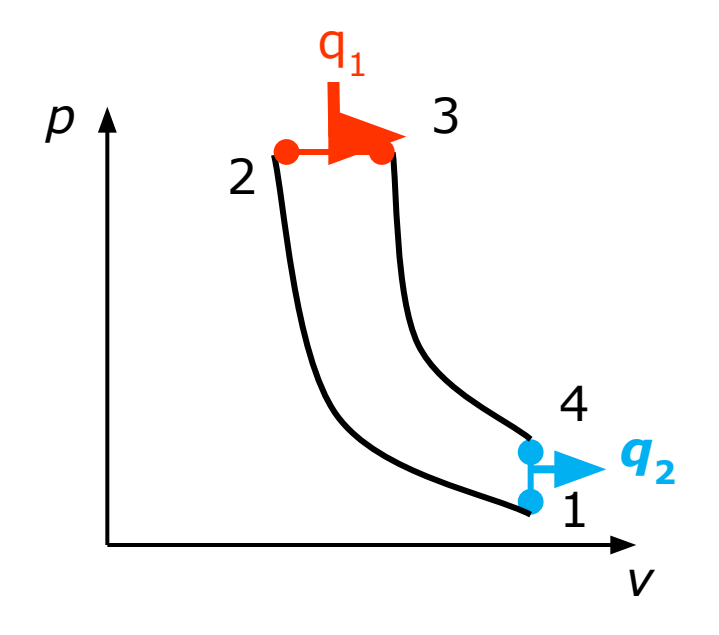
РАСШИРЕНИЕ

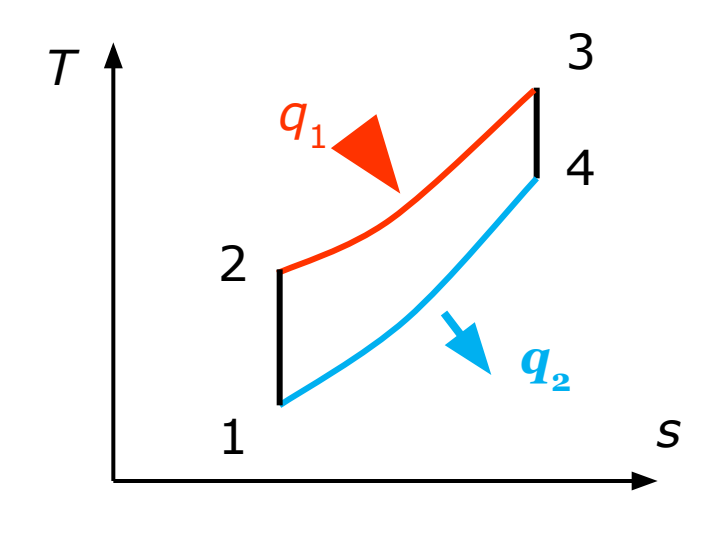
Топливо впрыскивается под высоким давлением



Открывается выпускной клапан Поршень движется вверх и выталкивает

Цикл Дизеля





- 1-2 адиабатное сжатие рабочего тела
- 2-3 изобарный подвод теплоты
- 4-5 адиабатное расширение рабочего тела
- 5-6 изохорный отвод теплоты от рабочего тела к холодному источнику

Характеристики Цикла Дизеля

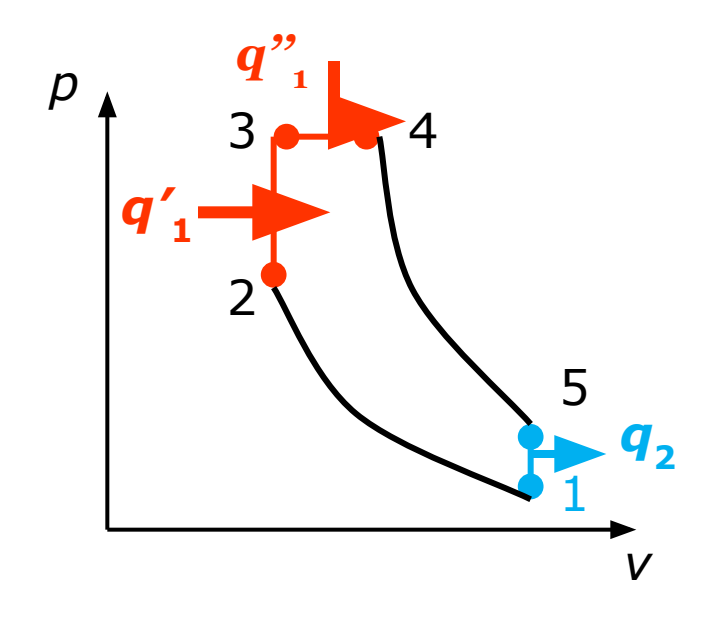
$$\bullet \qquad \varepsilon = \frac{V_1}{V_2}$$

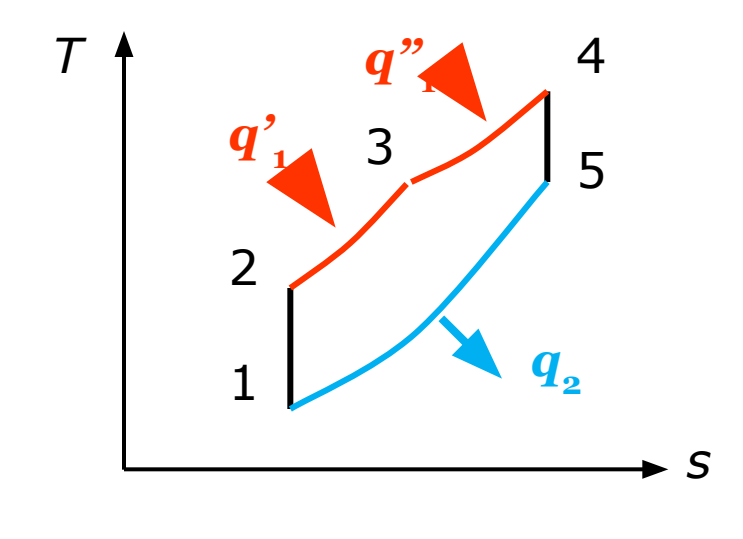
•
$$\eta = 1 - \frac{q_2}{q_1} = 1 - \frac{C_v(T_4 - T_1)}{C_p(T_3 - T_2)} = 1 - \frac{T_1}{kT_2} \left(\frac{\frac{T_4}{T_1} - 1}{\frac{T_3}{T_2} - 1}\right) = 1 - \frac{1}{\varepsilon^{k-1}} \frac{p^{\kappa} - 1}{\kappa(p-1)}$$

Необходимо отметить

- $\varepsilon = 15...22$
- Во время впуска в цилиндр поступает воздух
- Топливо воспламеняется путем самовоспламенения
- Сгорание длиться столько же, сколько длиться процесс впрыскивания
- $\eta_t = 40...45 \%$

Цикл Тринклера (Сабатэ)





- 1-2 адиабатное сжатие рабочего тела
- 2-3 изобарный подвод теплоты
- 3-4 изохорный подвод теплоты
- 4-5 адиабатное расширение
- 5-6 изохорный отвод теплоты от рабочего тела к холодному источнику

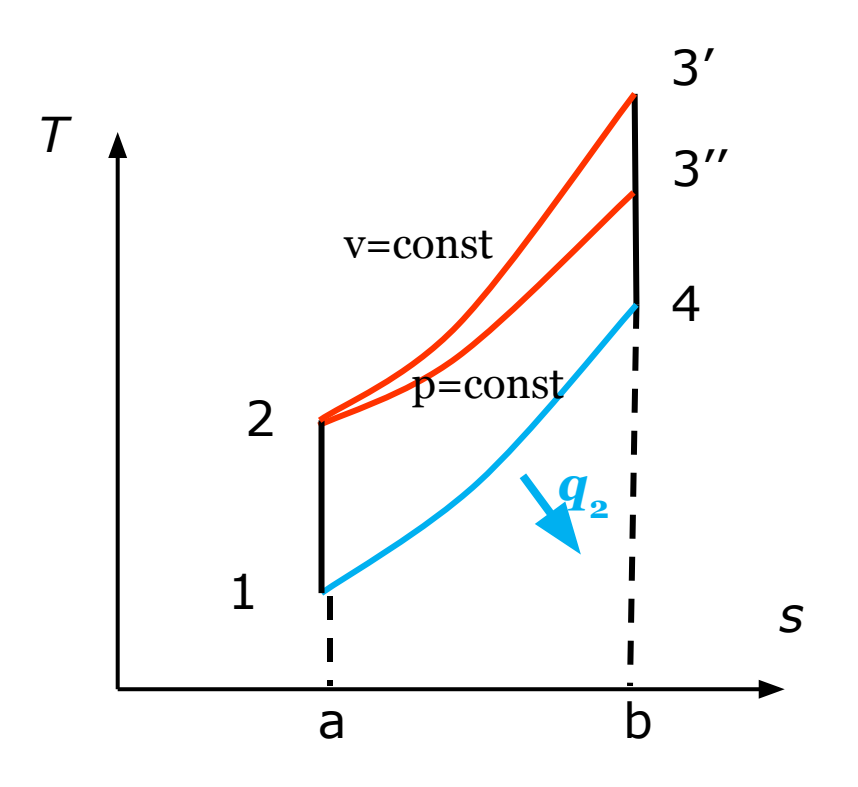
Характеристики цикла Тринклера-Сабатэ

$$\bullet \qquad \varepsilon = \frac{v_1}{v_2}$$

$$\lambda = \frac{p_3}{p_2}$$

•
$$\eta_{t} = 1 - \frac{q_{2}}{q_{1} + q_{1}} = 1 - \frac{1}{\varepsilon^{\kappa - 1}} \frac{\lambda \rho^{\kappa} - 1}{(\lambda - 1) + \kappa \lambda (\rho - 1)}$$

Сравнение циклов Отто и Дизеля при ε=const



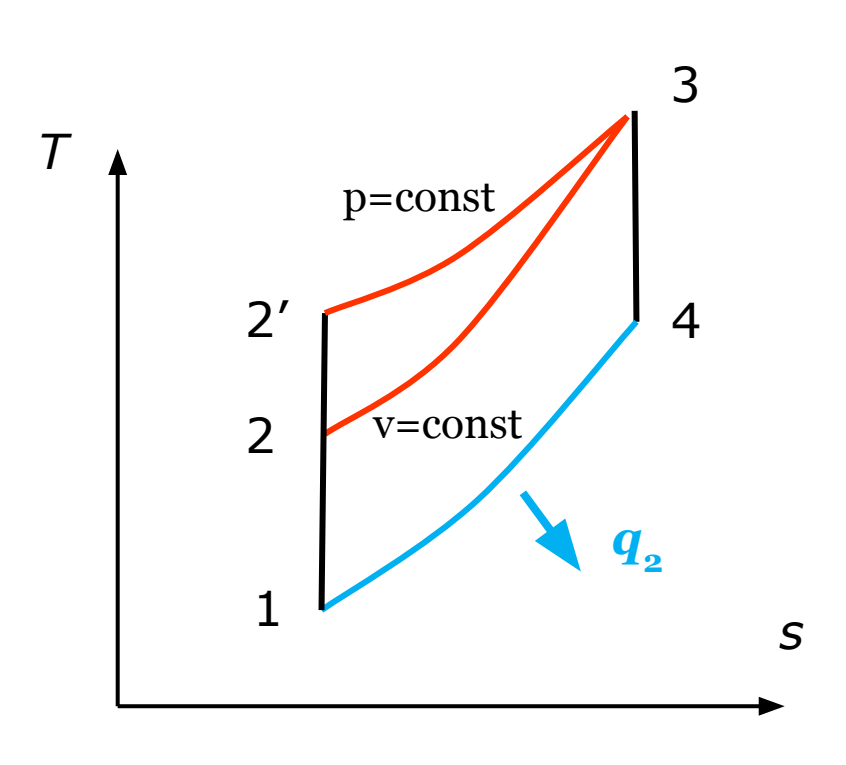
123'4 — цикл с изохорным подводом теплоты 123"4 — цикл с изобарным подводом теплоты

$$\eta_{t} = \frac{q_{1} - q_{2}}{q_{1}} = 1 - \frac{q_{2}}{q_{1}}$$

$$q_1^{\text{отто}} > q_1^{\text{дизеля}}$$

$$\eta_{
m t}^{
m otto} > \eta_{
m t}^{
m дизеля}$$

Сравнение циклов ДВС T₃=const



1234 – цикл с изохорным подводом теплоты12′34 – цикл с изобарным подводом теплоты

$$\eta_{t} = \frac{q_{1} - q_{2}}{q_{1}} = 1 - \frac{q_{2}}{q_{1}}$$

$$q_1^{ ext{дизеля}} > q_1^{ ext{отто}}$$

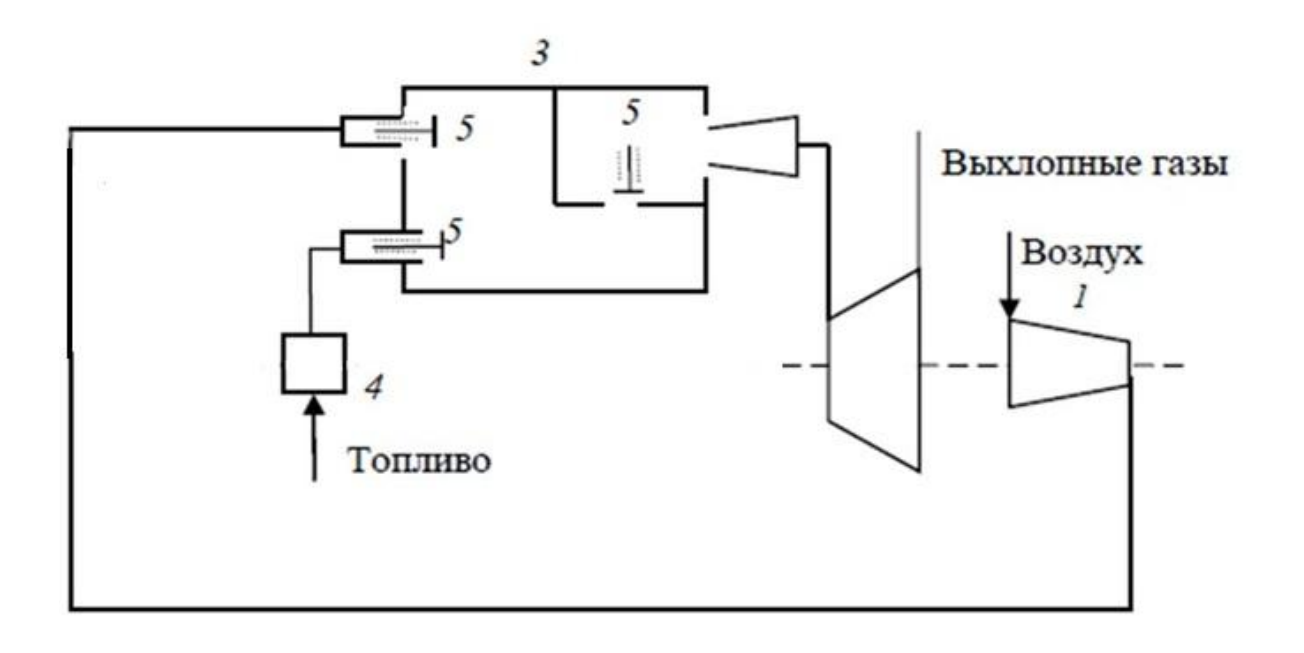
$$\eta_{
m t}^{
m дизеля} > \eta_{
m t}^{
m orto}$$

Термодинамические основы работы теплоэнергетических установок

Схемы и циклы ГТУ

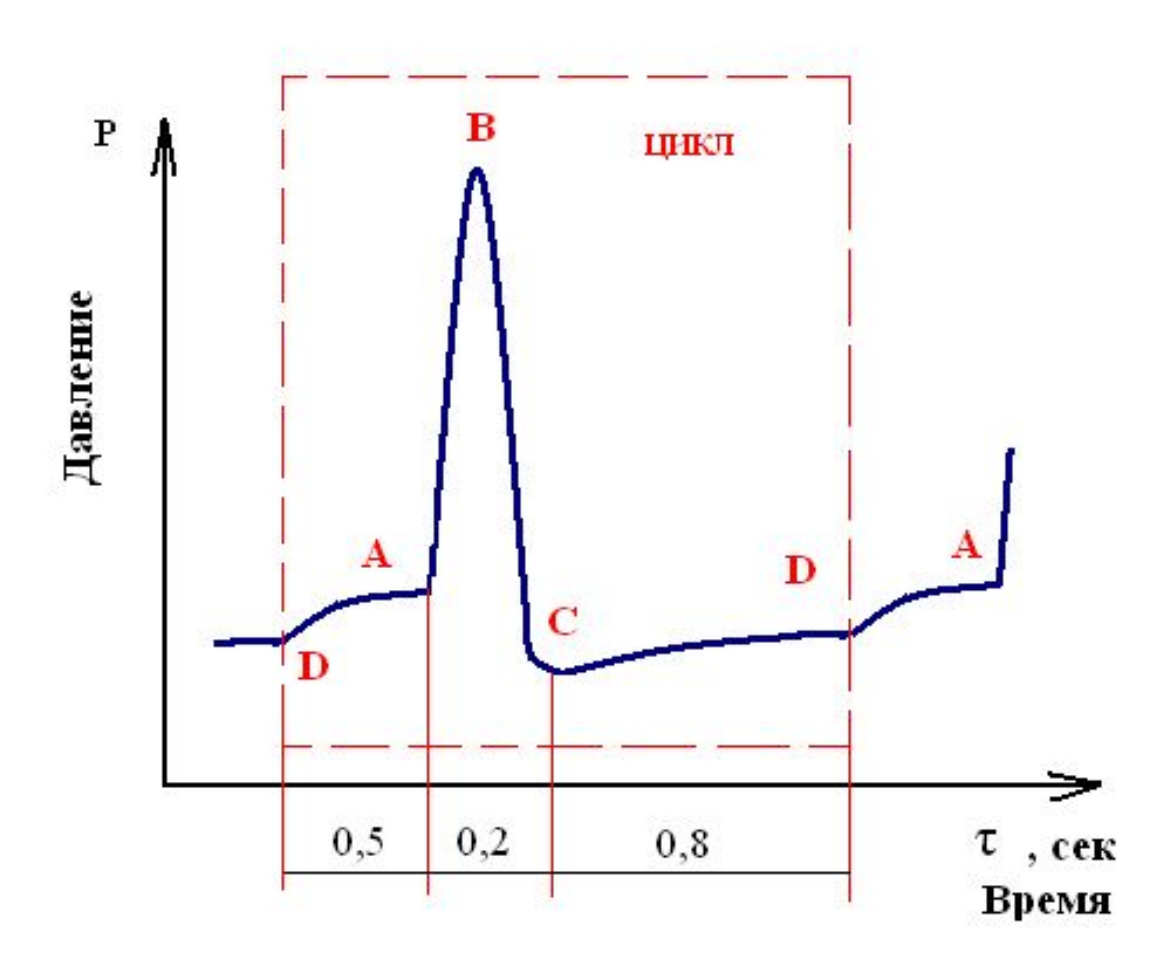


Цикл ГТУ с подводом теплоты в процессе v=const (импульсная)

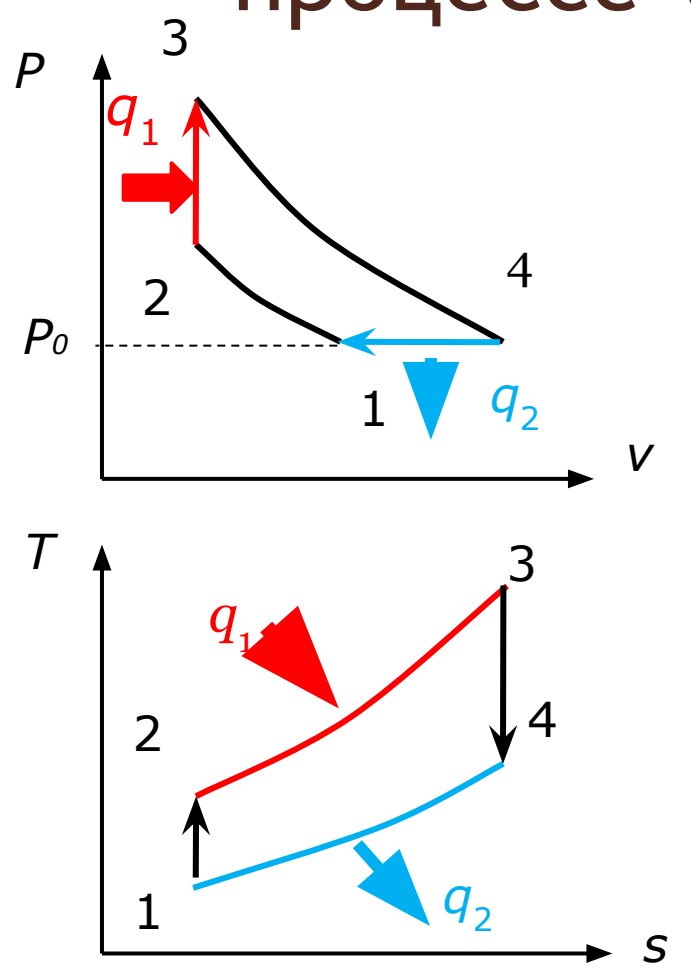


- 1 компрессор
- 3 камера сгорания
- 4 топливный насос
- 5 клапаны
- 6 газовая турбина

Изменение давления в зависимости от времени в камере сгорания



Цикл ГТУ с подводом теплоты в процессе v=const (импульсная)



- 1-2 адиабатное сжатие воздуха в компрессоре
- 2-3 изохорный подвод теплоты $(v=\mathrm{const})$
- 3-4 адиабатное расширение рабочего тела в газовой турбине
- 4-1 изобарный отвод теплоты

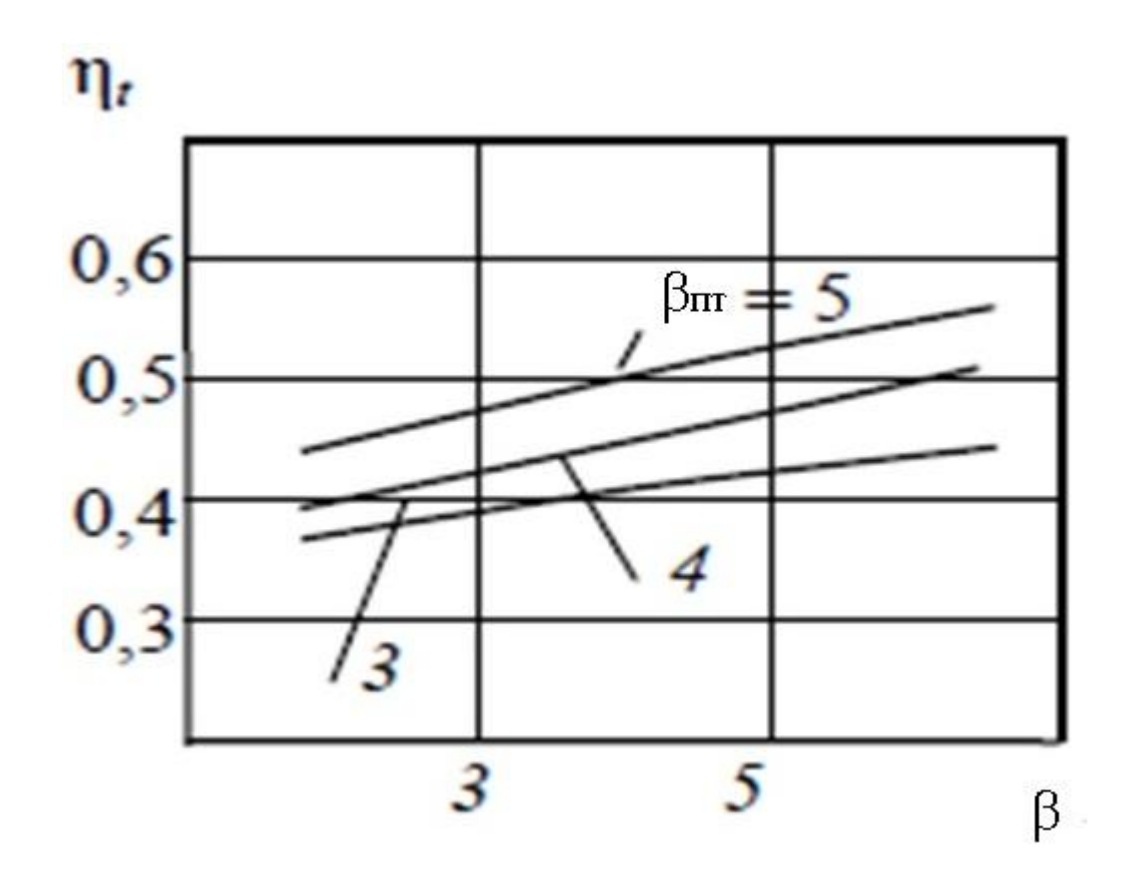
Характеристики цикла ГТУ с подводом теплоты в процессе v=const (импульсная)

$$\beta(\pi) = \frac{p_2}{p_1}$$

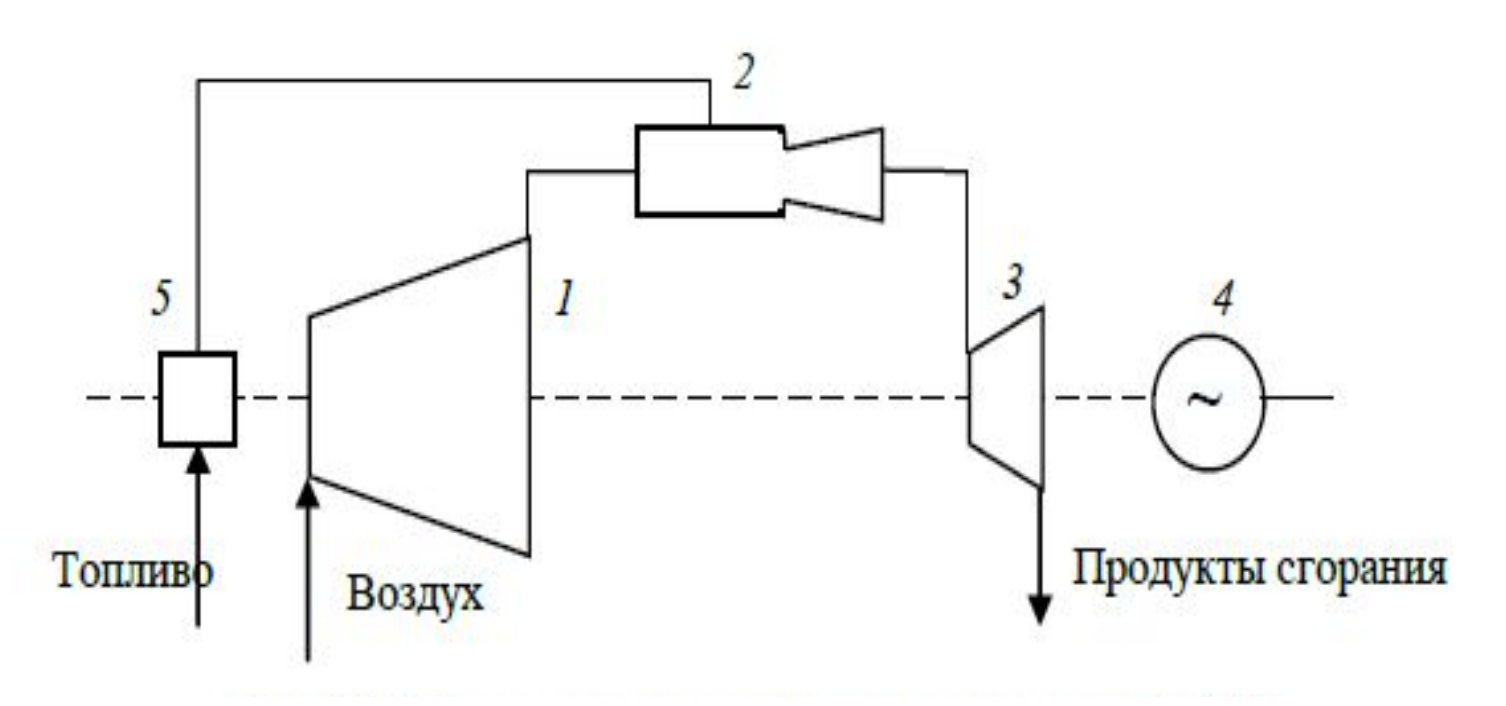
$$\qquad \beta_{\text{\tiny IIT}} = \frac{p_3}{p_2}$$

•
$$\eta_{t} = 1 - \frac{1}{\beta^{(k-1)/k}} \frac{k(\beta_{nt}^{-1/k} - 1)}{\beta_{nt}^{-1}}$$

Экономичность цикла ГТУ с подводом теплоты в процессе v=const (импульсная)

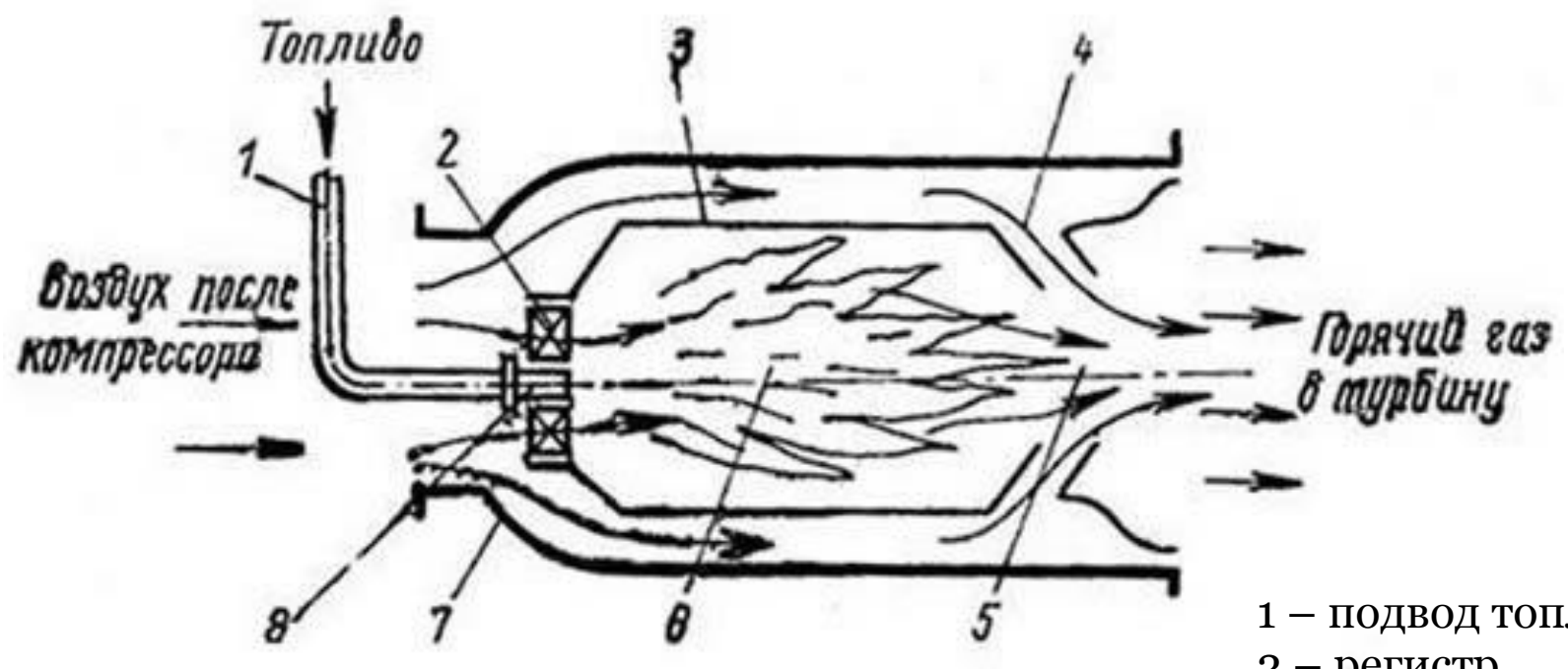


Цикл ГТУ с подводом теплоты в процессе p=const



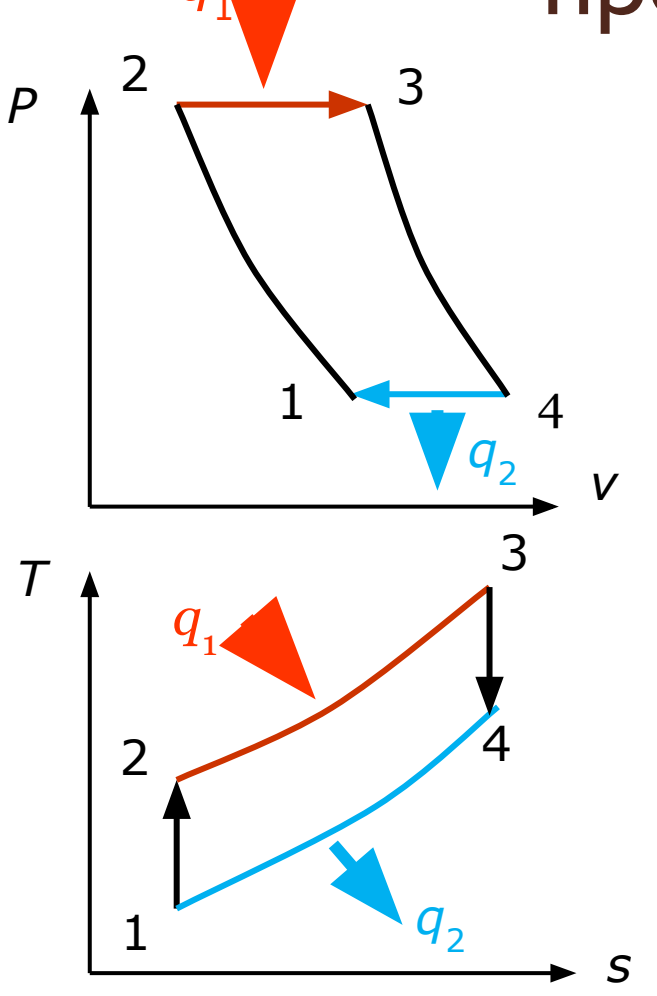
- 1 компрессор
- 2 камера сгорания
- 3 газовая турбина
- 4 электрогенератор
- 5 топливный насос

Простейшая камера сгорания ГТУ



- 1 подвод топлива
- 2 регистр
- 3 пламенная труба
- 4 смеситель
- 5 зона смешения
- 6 зона горения
- 7 корпус
- 8 топливораздающее устройство

Цикл ГТУ с подводом теплоты в процессе p=const



- 1-2 адиабатное сжатие воздуха в компрессоре
- 2-3 изобарный подвод теплоты (p=const)
- 3-4 адиабатное расширение рабочего тела в газовой турбине
- 4-1 изобарный отвод теплоты

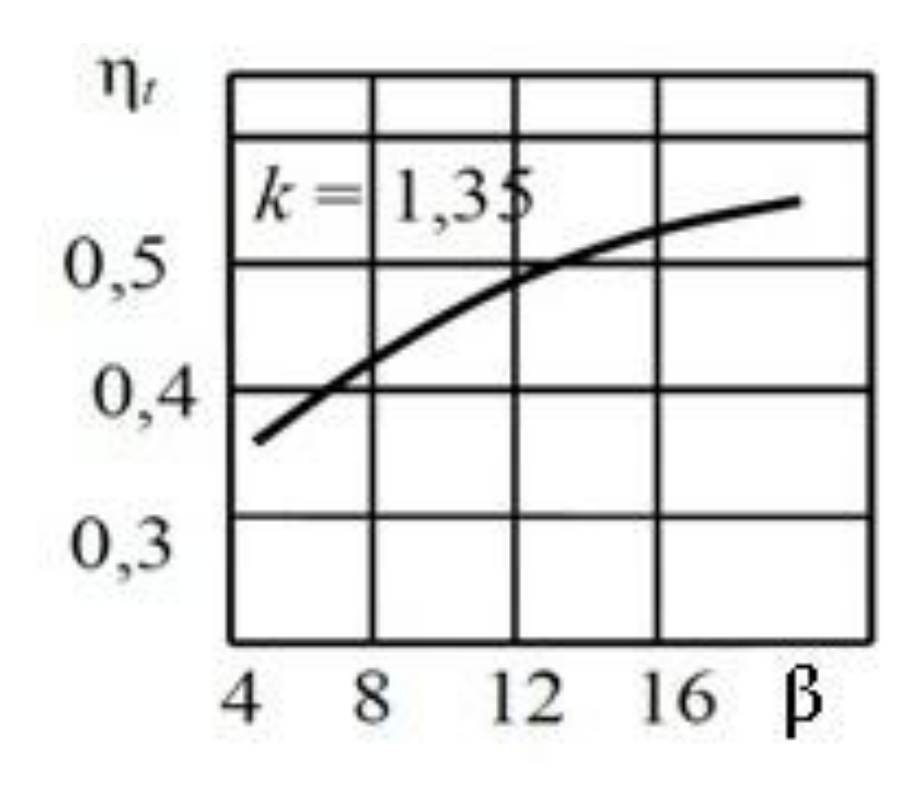
Характеристики цикла ГТУ с подводом tous теплоты в процессе tous

$$\beta(\pi) = \frac{p_2}{p_1}$$

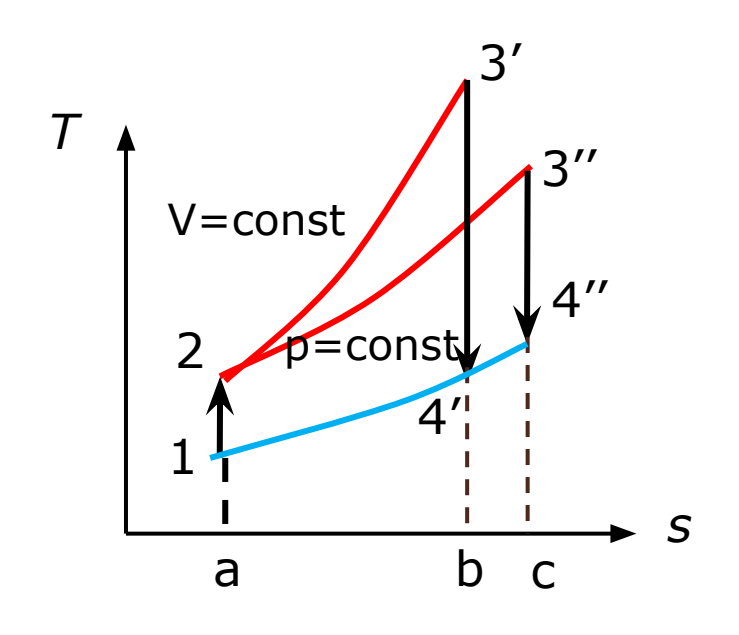
$$\rho = \frac{V_3}{V_2}$$

•
$$\eta_{t} = 1 - \frac{q_{2}}{q_{1}} = 1 - \frac{T_{4} - T_{1}}{T_{3} - T_{2}} = 1 - \frac{1}{\beta^{\frac{\kappa - 1}{\kappa}}}$$

Экономичность цикла ГТУ с подводом теплоты в процессе p=const



Сравнение циклов ГТУ



Условия сравнения:

$$eta^{ ext{v=const}}=eta^{ ext{p=const}}$$
 $q_1^{ ext{v=const}}=q_1^{ ext{p=const}}$, то есть $\pi\pi$ a123'b = $\pi\pi$ a123"c

отведенная теплота разная, то есть пл a14'b < пл a14"c

Tak kak
$$\eta_{t} = 1 - \frac{q_{2}}{q_{1}}$$
, to
$$\eta_{t}^{v=\mathrm{const}} > \eta_{t}^{p=\mathrm{const}}$$

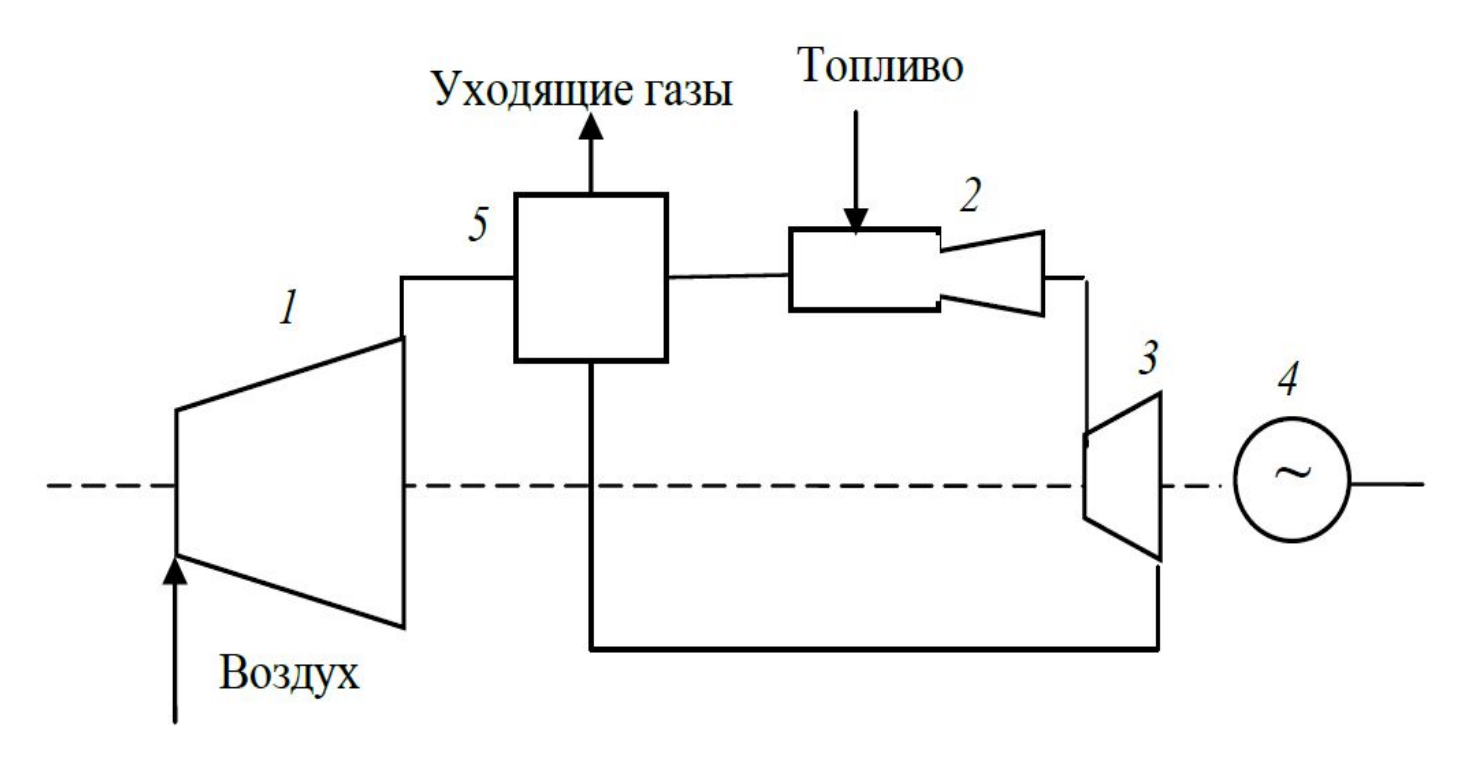
Сравнение циклов ГТУ

Однако, ГТУ с изохорным подводом теплоты не получили широкого распространения.

Недостатки

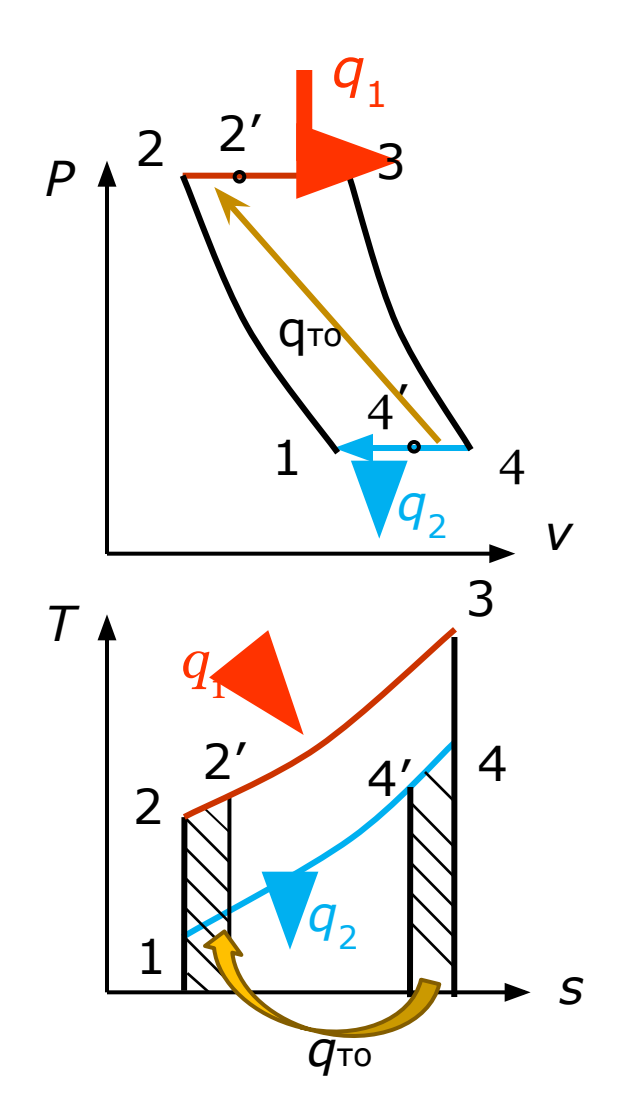
- Сложности в организации изохорного сгорания топлива
- Усложнение конструкции камеры сгорания
- Усиленный износ клапанов

Цикл ГТУ с регенерацией тепла



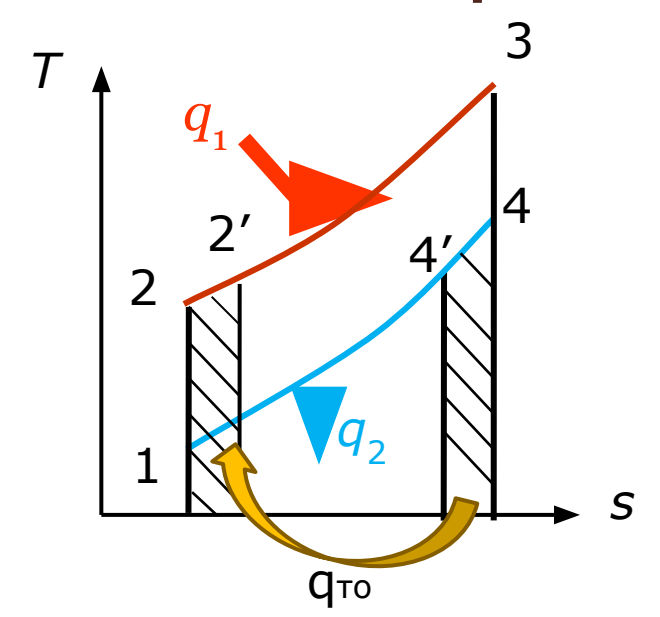
- 1 воздушный компрессор
- 2 камера сгорания
- 3 газовая турбина
- 4 электрогенератор
- 5 регенератор

Цикл ГТУ с регенерацией тепла



- 1-2 адиабатное сжатие воздуха в компрессоре
- 2-2' нагрев воздуха в регенераторе за счет теплоты уходящих газов
- 2'-3 нагрев рабочего тела в камере сгорания при p=const в процессе подвода тепла при сжигании топлива
- 3-4 адиабатное расширение рабочего тела в турбине
- 4-4' отвод теплоты от уходящих газов в регенераторе
- 4-1 охлаждение газов в атмосфере

Характеристики цикла ГТУ с регенерацией тепла



$$\sigma = \frac{T_2 - T_2}{T_4 - T_2}$$

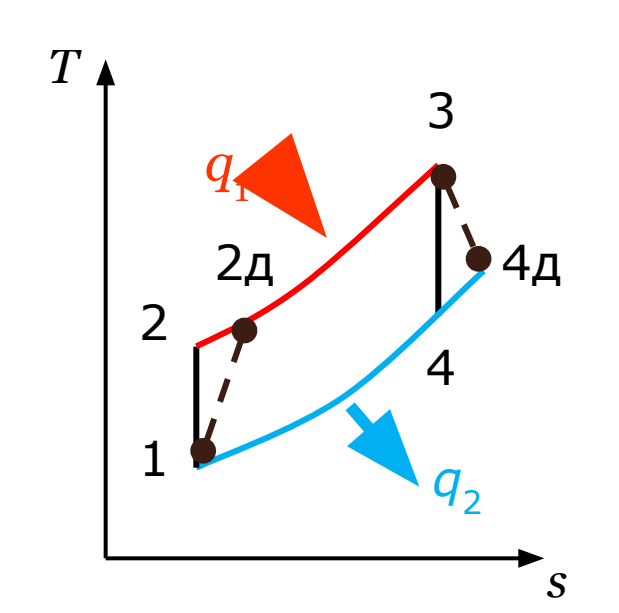
$$\beta = \frac{p_2}{p_1}$$

$$\rho = \frac{v_3}{v_2}$$

$$\eta_{t} = 1 - \frac{(\rho \gamma - 1) - \beta^{\frac{k-1}{k}} (\gamma - 1)}{\gamma \beta^{\frac{\kappa - 1}{\kappa}} (\rho - 1)}$$

$$\gamma = \frac{T_1}{T_2}$$

Учет необратимости в ГТУ



- 1-2 адиабатное сжатие воздуха в компрессоре
- 1-2д условное необратимое адиабатное сжатие воздуха в компрессоре
- 2д-3 изобарный подвод теплоты (p=const)
- 3-4 адиабатное расширение рабочего тела в газовой турбине
- 3-4д условное необратимое адиабатное расширение рабочего тела в турбине
- 4-1 изобарный отвод теплоты

Учет необратимости в ГТУ

$$l_{\rm e} = \left((h_3 - h_4) \eta_{\rm 0i}^{\rm T} - (h_2 - h_1) / \eta_{\rm K}^{\rm ad} \right) \eta_{\rm Mex}$$

 $\eta_{\scriptscriptstyle
m Mex}$ - механический КПД

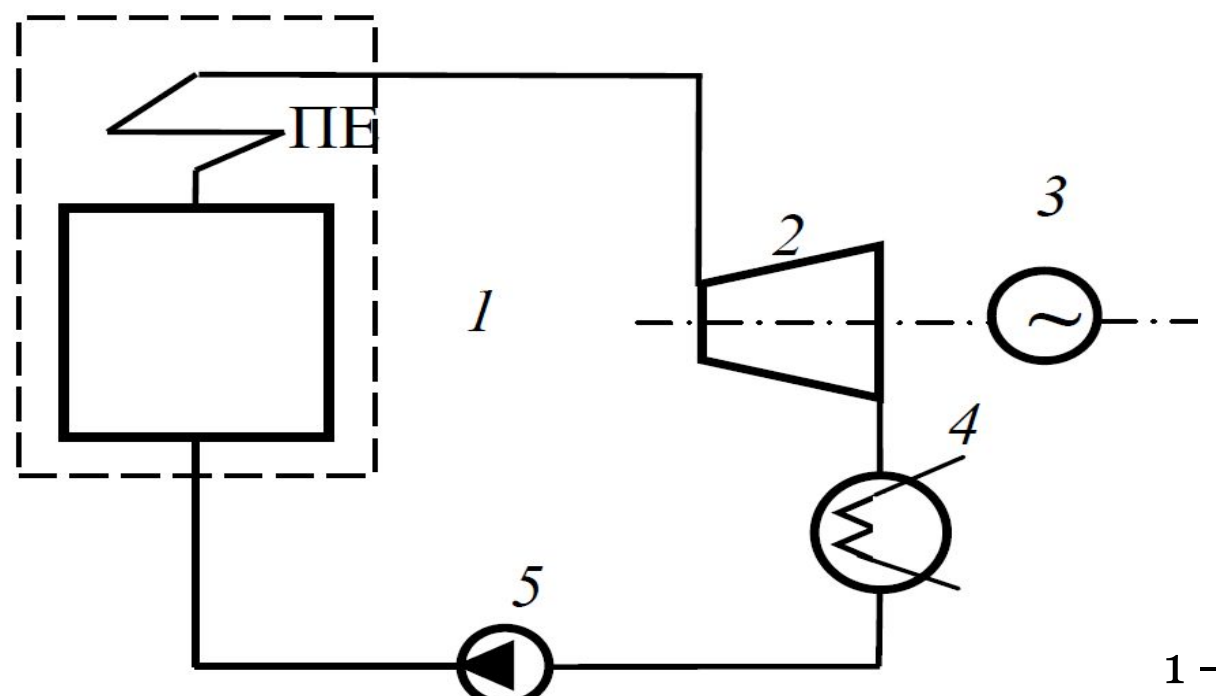
$$\eta_{\mathrm{e}} = \frac{l_{\mathrm{e}}}{q_{\mathrm{h}}}$$

$$N_{
m e} = G_{
m {\scriptscriptstyle BO3J}} l_{
m e}$$

Термодинамические основы работы теплоэнергетических установок

Схемы и циклы ПТУ

Цикл Ренкина на перегретом паре



1 – котлоагрегат

2 - турбина

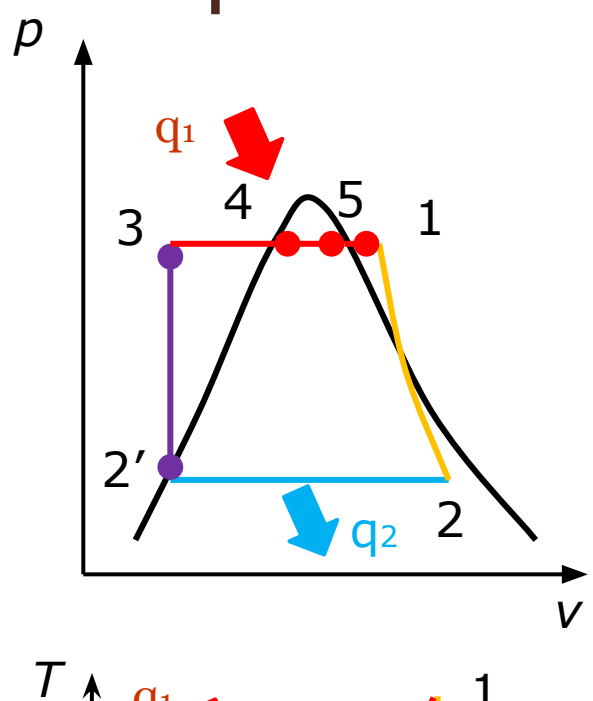
3 - электрогенератор

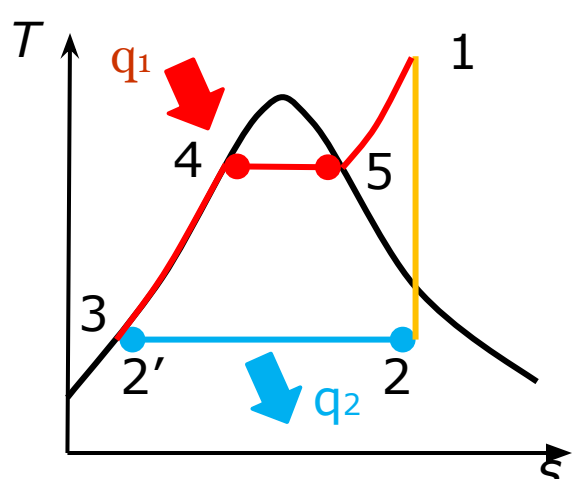
4 - конденсатор

5 – питательный насос

ПЕ - пароперегреватель

Цикл Ренкина на перегретом паре





- 1-2 расширение пара в турбине
- 2-2' конденсация пара в конденсаторе
- 2'-3 сжатие воды в питательном насосе
- 3-4 нагрев питательной воды до температуры кипения
- 4-5 генерация пара в котле
- 5-1 перегрев пара в пароперегревателе

Термический КПД цикл Ренкина на перегретом паре

$$\eta_{t} = \frac{q_{t} - q_{2}}{q_{1}} = \frac{(h_{1} - h_{3}) - (h_{2} - h_{2'})}{(h_{1} - h_{3})} = \frac{(h_{1} - h_{2}) - (h_{3} - h_{2'})}{(h_{1} - h_{3})} = \frac{1 - 1}{q_{1}}$$

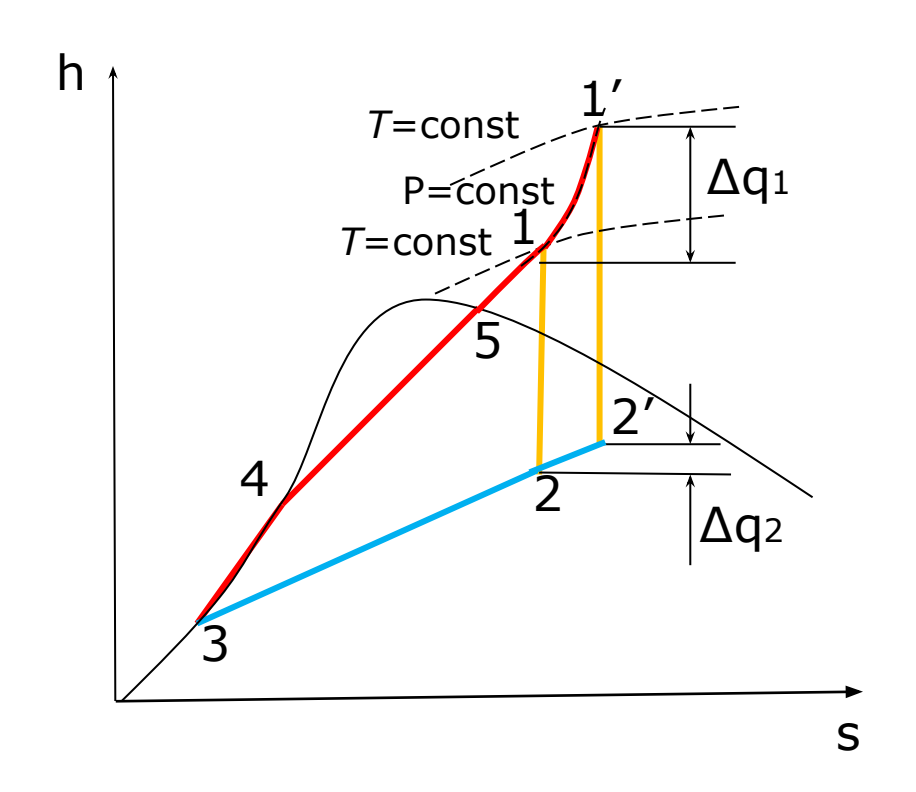
 $l_{\scriptscriptstyle \mathrm{T}}$ - работа пара в турбине

l_н - работа сжатия в питательном насосе

 \mathbf{q}_1 - подведенная теплота в котлоагрегате

$$\eta_{t} = \frac{q_{1} - q_{2}}{q_{1}} = \frac{(h_{1} - h_{2})}{(h_{1} - h_{3})}$$

Влияние начальной температуры пара на термический КПД цикла Ренкина

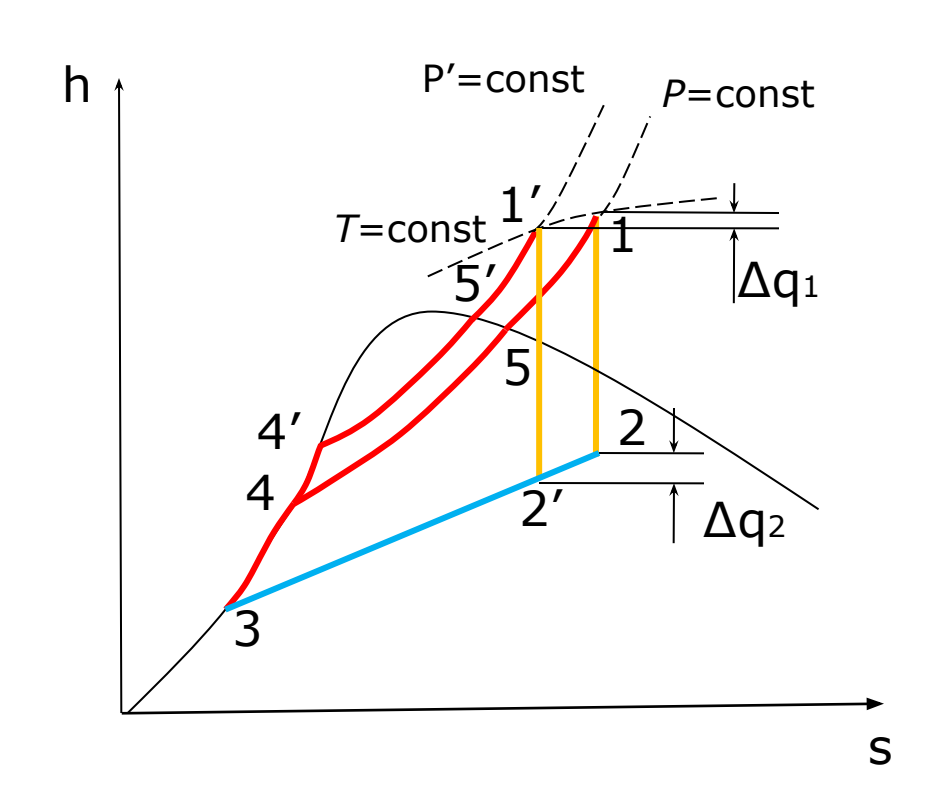


$$\eta_{t} = 1 - \frac{q_2}{q_1}$$

$$\Delta q_1 > \Delta q_2$$

$$\eta_{\mathrm{t}} < \eta_{\mathrm{t}}^{'}$$

Влияние начального давления пара на термический КПД цикла Ренкина

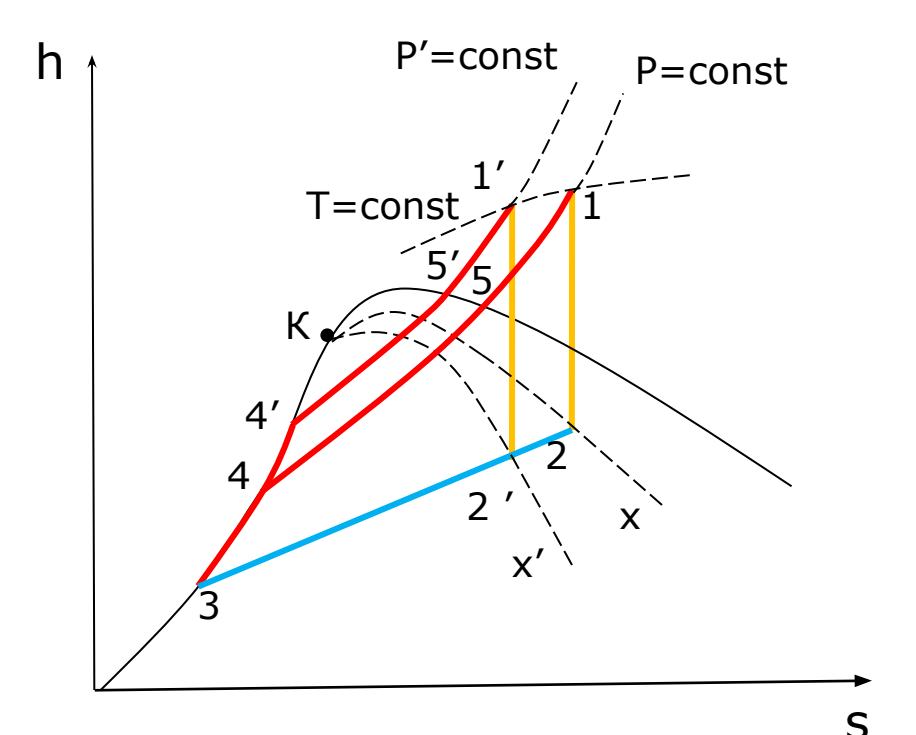


$$\eta_{t} = 1 - \frac{q_{2}}{q_{1}}$$

$$\Delta q_{1} < \Delta q_{2}$$

$$\eta_{t} < \eta_{t}'$$

Влияние начального давления пара на термический КПД цикла Ренкина



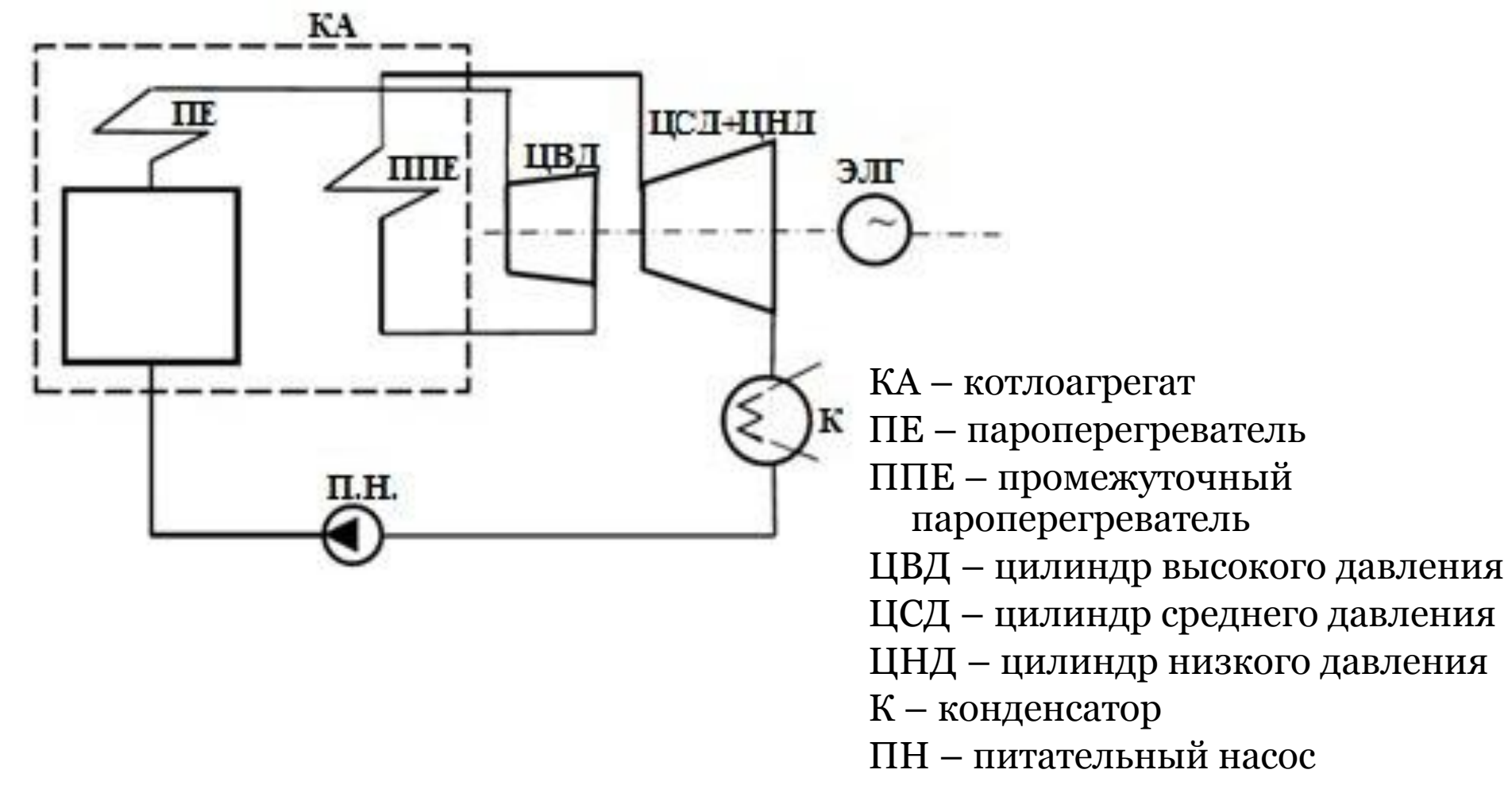
недостатки

- возрастает влажность и падает сухость
 - дополнительное сопротивление
 - эрозия лопаток турбины
- увеличивается работа насоса
- возрастает число ступеней

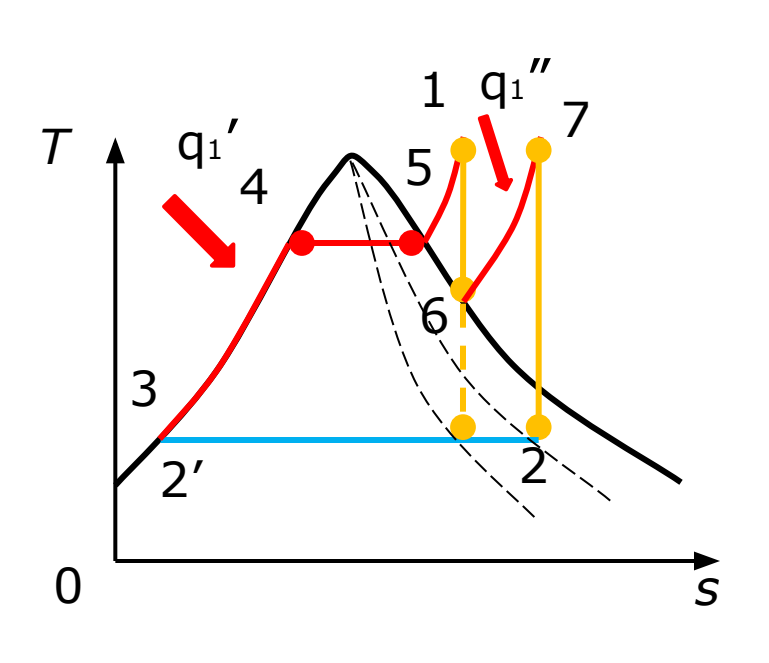
методы борьбы

- одновременное повышение давления и температуры пара перед турбиной
- промежуточный (вторичный) перегрев пара

Промежуточный перегрев пара (вторичный)



Промежуточный перегрев пара (вторичный)



- 1-6 расширение пара в ЦВД
- 6-7 промежуточный перегрев пара
- 7-2 расширение пара в ЦСД+ЦНД
- **2-2'** конденсация пара в конденсаторе
- 2'-3 сжатие воды в питательном насосе
- 3-4 нагрев питательной воды до температуры кипения
- 4-5 генерация пара в котле
- 5-1 перегрев пара в пароперегревателе

Промежуточный перегрев пара (вторичный)

$$\eta_{t} = \frac{q_{1} - q_{2}}{q_{1}} = \frac{(h_{1} - h_{3}) + (h_{7} - h_{6}) - (h_{2} - h_{2'})}{(h_{1} - h_{3}) + (h_{7} - h_{6})} =$$

$$= \frac{(h_{1} - h_{6}) + (h_{7} - h_{2}) - (h_{3} - h_{2'})}{(h_{1} - h_{3}) + (h_{7} - h_{6})} = \frac{l_{IIBJ} + l_{IICJ+IIHJ} - l_{H}}{q_{1}' + q_{1}''}$$

1_{цвд} - работа пара в цилиндре высокого давления

1 цсд+цнд - работа пара в цилиндрах среднего и низкого давления

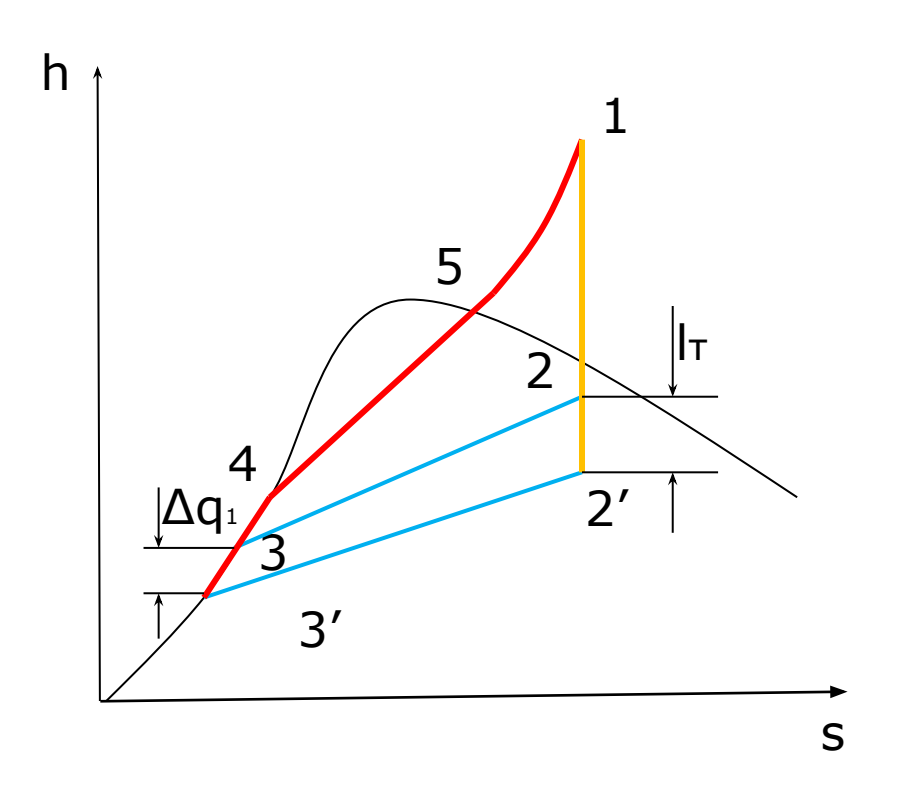
 $1_{_{\rm H}}$ - работа сжатия в питательном насосе

 $\mathbf{q}_{_{1}}^{'}$ - подведенная теплота в котлоагрегате

 $q_1^{''}$ - подведенная теплота в промежуточном паропергревателе

$$\eta_{t} = \frac{(h_{1} - h_{6}) + (h_{7} - h_{2})}{(h_{1} - h_{3}) + (h_{7} - h_{6})}$$

Влияние конечных параметров пара на величину КПД цикла Ренкина

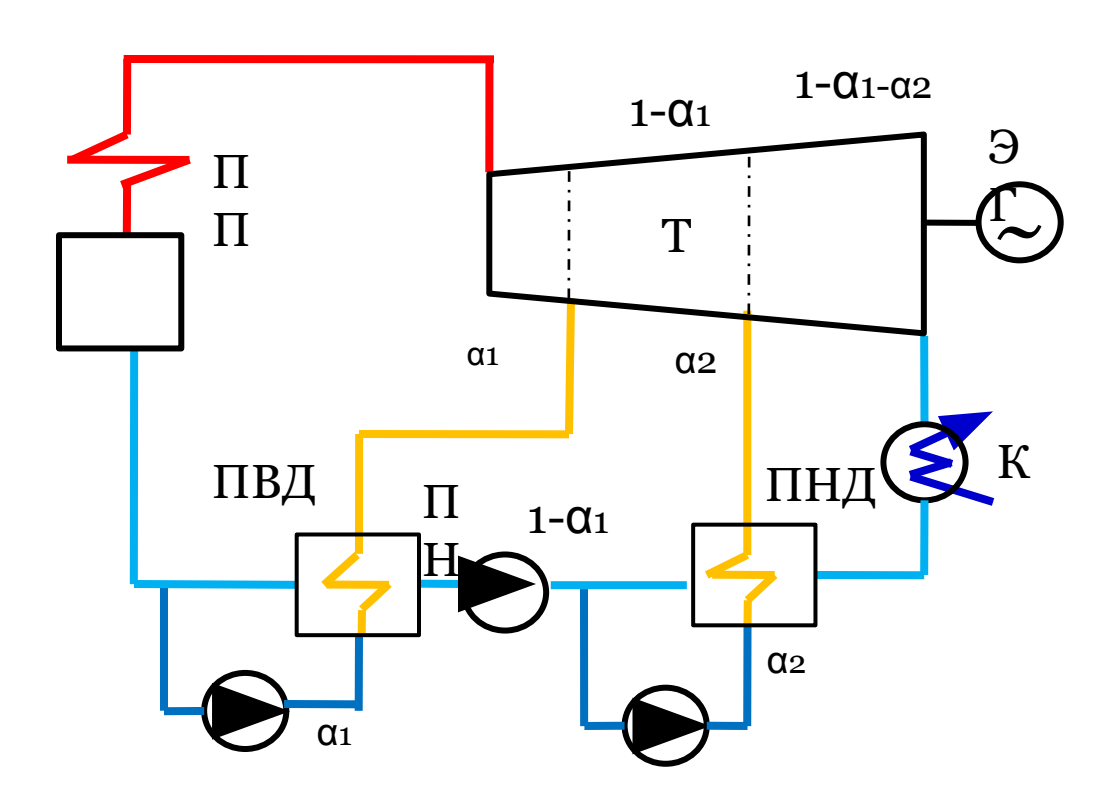


$$\eta_{\scriptscriptstyle \mathrm{t}} = \frac{1_{\scriptscriptstyle \mathrm{T}}}{q_{\scriptscriptstyle 1}}$$

$$l_1 > \Delta q_1$$

$$\eta_{
m t} < \eta_{
m t}^{'}$$

Регенеративный цикл



ПП – пароперегреватель

Т – турбина

ЭГ – электрогенератор

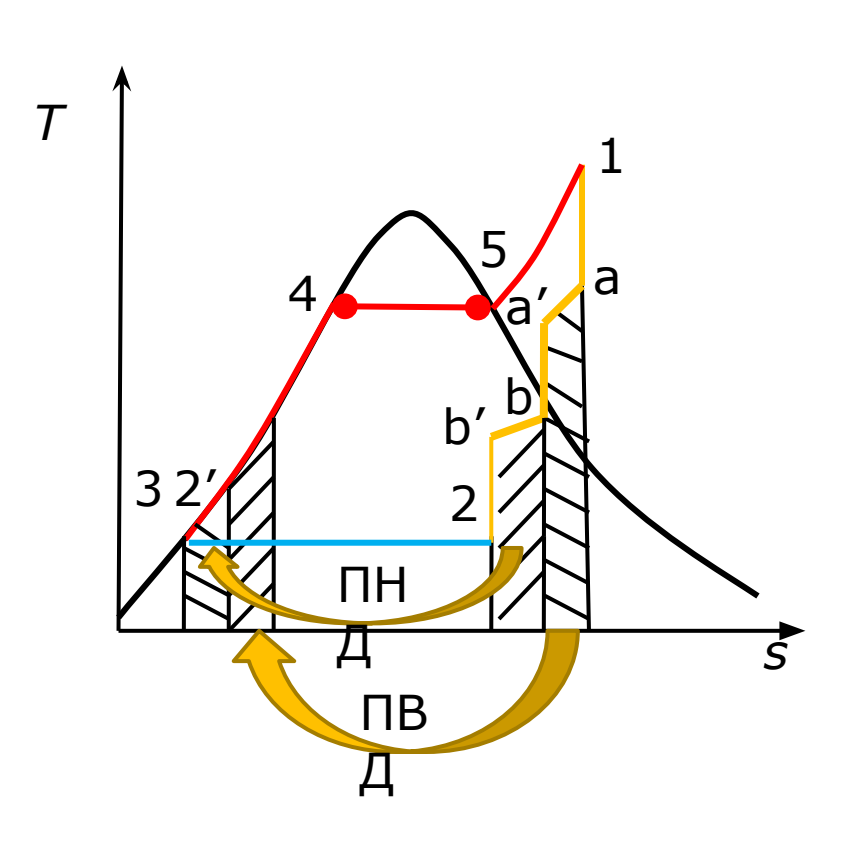
К – конденсатор

ПНД – подогреватель низкого давления

ПН – питательный насос

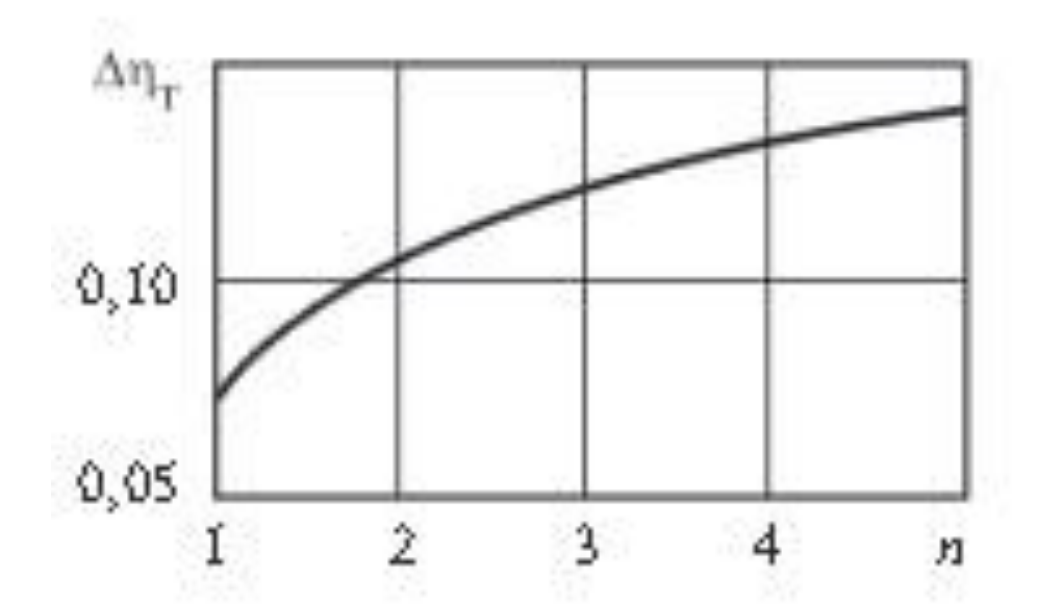
ПВД – подогреватель высокого давления

Регенеративный цикл



- **1-**а расширение пара в первых ступенях турбины
- а-а' изобарный отвод теплоты от пара в ПВД
- а-b расширение в ступенях турбины
- b-b' изобарный отвод теплоты от пара в ПНД
- b'-2 расширение в ступенях турбины
- **2-2'** конденсация пара в конденсаторе
- 2'-3 сжатие воды в питательном насосе
- 3-4 нагрев питательной воды до температуры кипения
- **4-5** процесс парообразования **5-1** перегрев пара

Влияние числа отборов на прирост термического КПД



Основные характеристики цикла

• Теоретическая мощность турбины

$$N_{\rm T} = D_0 \left(h_1 - h_2 \right)$$

• Внутренняя мощность турбины

$$\eta_{0i} = \frac{h_{1} - h_{2}}{h_{1} - h_{2}} \qquad N_{i} = D_{0} (h_{1} - h_{2}) = N \eta_{i}$$

• Эффективная мощность

$$N_{\mathbf{M}} = N_i \eta$$

• Электрическая мощность

$$N_9 = N_e \eta_\Gamma$$

Основные характеристики цикла

• Относительный эффективный КПД

$$\eta_{\mathbf{N}} = \eta_{0i} \eta$$

• Относительный электрический КПД

$$\eta_{\mathbf{e}} = \eta_{i} \eta_{i} \eta_{i}$$

• Расход пара на турбину

$$D_0 = \frac{N_{\rm T}}{h_3 - h_2} = \frac{N_i}{2\eta_{0i} (h_1 - h_2)} = \frac{N_e}{\eta_{0e} (h_1 - h_2)} = \frac{N_9}{\eta_0 (h_1 - h_2)}$$

• Удельный расход пара

$$d_0 = \frac{D_0}{N_9} = \frac{1}{\eta_{09} (h_1 - h_2)}$$

Основные характеристики цикла

• Внутренний КПД цикла

$$\eta_{i} = \frac{l_{\text{пол}}}{q_{1}} = \frac{\left(h_{1} - h_{2}\right)\eta_{oi}^{\text{T}} - \left(h_{3} - h_{2'}\right)/\eta_{oi}^{\text{H}}}{\left(h_{1} - h_{2'}\right) - \left(h_{3} - h_{2'}\right)/\eta_{oi}^{\text{H}}}$$

• Эффективный КПД цикла

$$\eta_{\rm e} = \eta_{\kappa} \eta_i \eta_{M}$$

• КПД котлоагрегата

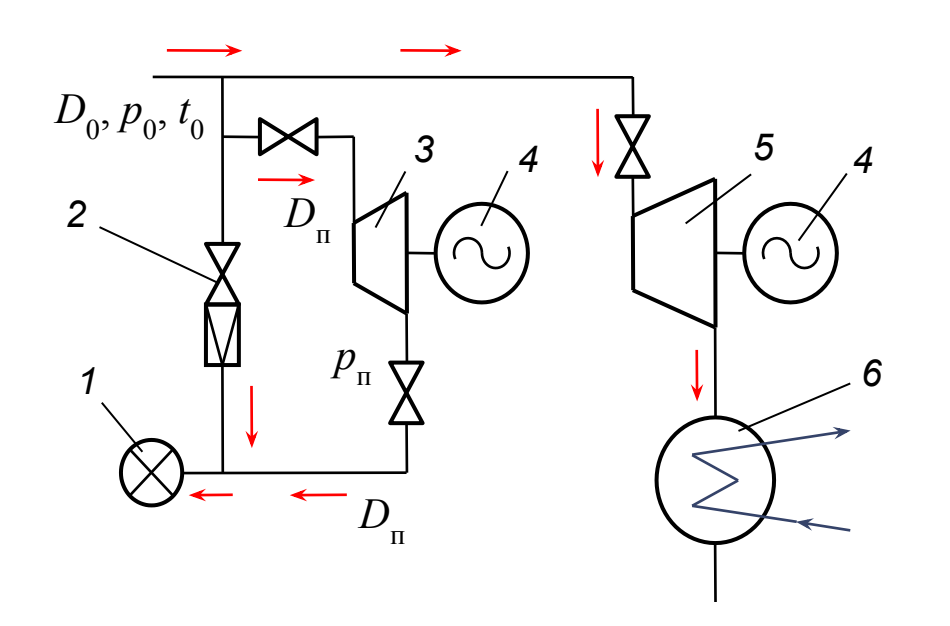
$$\eta_{\scriptscriptstyle \mathrm{K}} = \frac{D_0 \left(h_1 - h_{2^{\scriptscriptstyle +}} \right)}{B Q_{\scriptscriptstyle \mathrm{H}}^{\scriptscriptstyle \mathrm{p}}}$$

Теплофикационные установки

Комбинированной выработкой на электростанциях электроэнергии и теплоты называют *теплофикацией*, а турбины, применяемые на таких электростанциях — *теплофикационными*

Тепловые электростанции, осуществляющие комбинированную выработку электроэнергии и теплоты называются теплоэлектроцентралями (ТЭЦ), в отличии от конденсационных электростанций (КЭС), вырабатывающих только электроэнергию

Турбины с противодавлением (типа Р)



1 – тепловой потребитель;

2 – редукционно-охладительная установка;

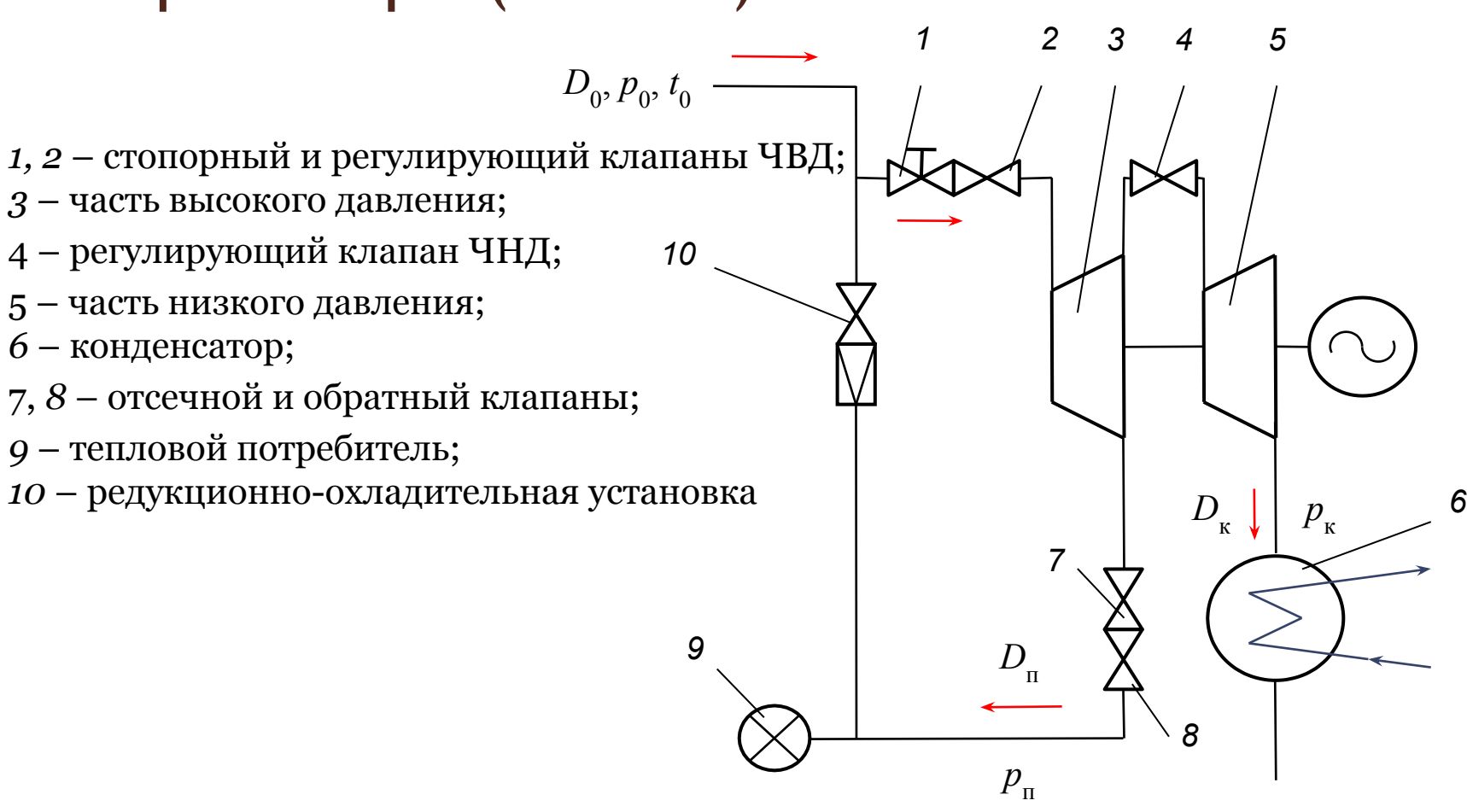
3, 5 – турбины с противодавлением и конденсационная,

4 – генераторы;

6 – конденсатор

Если максимальные тепловые нагрузки не удается покрыть с помощью противодавления турбины, то пар потребителю отпускается также через РОУ. Т.к. Р-турбина работает по тепловому графику нагрузок, то для обеспечения электрического потребителя обязательно имеется К-турбина.

Турбины с промежуточным регулируемым отбором пара (типа П)

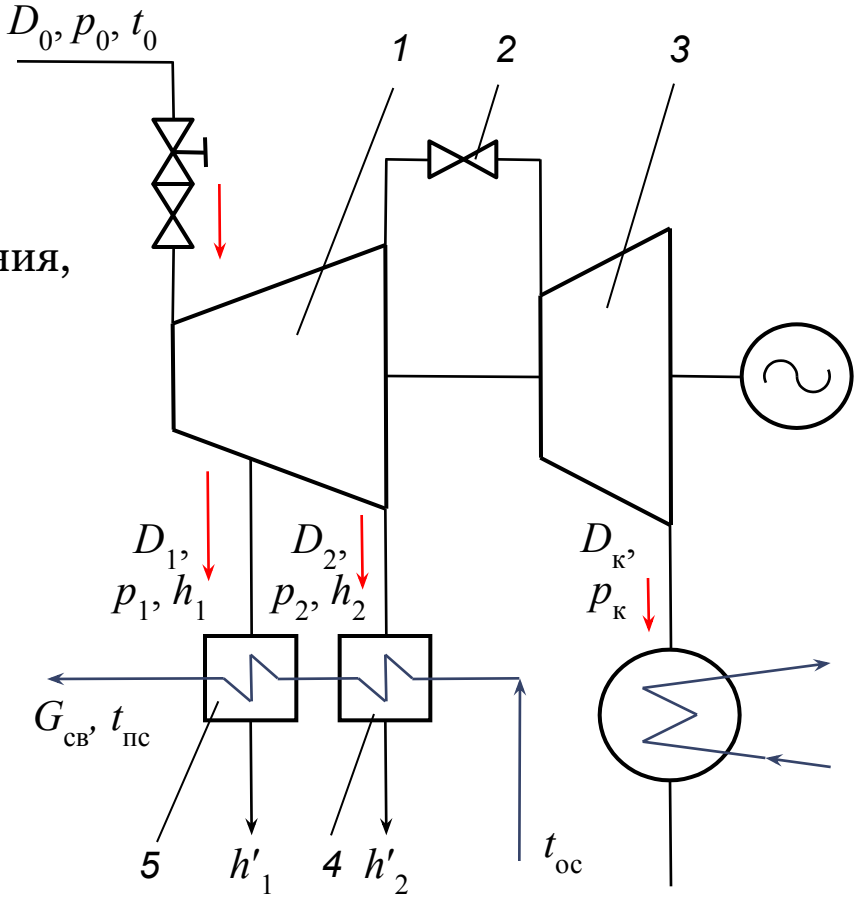


Турбина с двухступенчатым подогревом сетевой воды (типа Т)

1, 3 – части высокого и низкого давления,

2 – регулирующий клапан;

4, 5 – нижняя и верхняя ступени подогревателя сетевой воды



Маркировка паровых турбин

- К конденсационные
- П теплофикационные с производственным отбором пара
- Т теплофикационные с отопительным отбором пара
- ПТ теплофикационные с производственным и отопительным отбором пра
- P с противодавлением, без регулируемого отбора пара
- ПР теплофикационные с противодавлением и с производственным отбором пара

Маркировка паровых турбин

ТР – теплофикационные с противодавлением и с отопительным отбором пара

ТК – теплофикационные с отопительным отбором пара, с большой привязанной конденсационной мощностью

КТ – теплофикационные с отопительными отборами нерегулируемого давления

Маркировка паровых турбин

- 1 цифра электрическая мощность (номинальная/максимальная)
- 2 цифра начальное давление в МПа (кгс/см²)

для П, ПТ, Р и ПР – давление производственного отбора и (или) противодавление в МПа (кгс/см²) частота вращения (50/25) – дробью после давления

• 3 цифра - модификация

Примеры обозначений

- К-800-23,5-5 (или К-800-240-5)
- IIT-140/165-12,8/1,5-2
- KT-1070-5,9/25-3 (KT-1070-60/1500-3)
- ΠP-6-35/15/5

Термодинамические основы работы теплоэнергетических установок

Эксергия

- Получение работы возможно, если система не находится в состоянии равновесия с окружающей средой
- Получение работы прекратиться при достижении состояния равновесия системы и окружающей среды
- Максимальную работу в цикле Карно можно получить при осуществлении обратимых адиабатных и изотермических процессов

• І закон термодинамики для системы

$$U'' - U' + L = Q = 0$$

• внутренняя энергия системы в начальном состоянии

$$U' = U_1 + U_{01}$$

• внутренняя энергия системы в конечном состоянии состоянии

$$U'' = U_2 + U_{02}$$

$$L = U_1 + U_{01} - U_2 - U_{02} = (U_1 - U_2) + (U_{01} - U_{02})$$

• Для окружающей среды

$$U_{02} - U_{01} = Q_0 + L_0$$

$$L_0 = p_0 \left(V_2 - V_1 \right)$$

$$U_{01} - U_{02} = -Q_0 - p_0 (V_2 - V_1)$$

• Работа системы

$$L = (U_1 - U_2) - Q_0 - p_0(V_2 - V_1)$$

• Теплота, сообщенная среде

$$Q_0 = T_0 (S_{02} - S_{01})$$

$$L = (U_1 - U_2) - T_0 (S_{02} - S_{01}) - p_0 (V_2 - V_1)$$

• Энтропия замкнутой адиабатной системы

$$S_{02} - S_{01} = S_1 - S_2$$

$$L = (U_1 - U_2) - T_0(S_1 - S_2) - p_0(V_2 - V_1)$$

• Получение работы прекратиться

$$P_{0} = P_{2} T_{0} = T_{2} U_{0} = U_{2} V_{0} = V_{2}$$

$$L_{\text{max}} = (U_{1} - U_{0}) - T_{0} (S_{1} - S_{0}) + p_{0} (V_{1} - V_{0})$$

$$L_{\text{max}} = (H_{1} - H_{0}) - T_{0} (S_{1} - S_{0})$$

$$E = (H_{1} - H_{0}) - T_{0} (S_{1} - S_{0})$$

Эксергия

• Эксергия является максимальной работой, которую можно совершить в **обратимом** процессе изменения состояния системы (рабочее тело) от начальных параметров до параметров окружающей среды (состояние равновесия)

Энергия и эксергия

Энергия системы	Эксергия системы
Зависит только от параметров системы и не зависит от параметров окружающей среды	Зависит как от параметров системы, так и от параметров окружающей среды
Всегда имеет величину отличную от нуля	Может иметь величину равную нулю
Подчиняется закону сохранения энергии в любых процессах и уничтожаться не может	Подчиняется закону сохранения только при обратимых процессах; в реальных необратимых процессах уничтожается частично или полностью
Преобразование одних форм в другие ограничено по условиям второго закона термодинамики для всех процессов, в том числе и обратимых	Преобразование одних форм в другие не ограничено по условиям второго закона термодинамики для обратимых процессов

Виды эксергии и ее составляющие

• Для безэнтропийных видов энергии

• Механическая энергия $E_L = L$

• Электрическая энергия $\mathbf{B}_{3} =$

Виды эксергии и ее составляющие

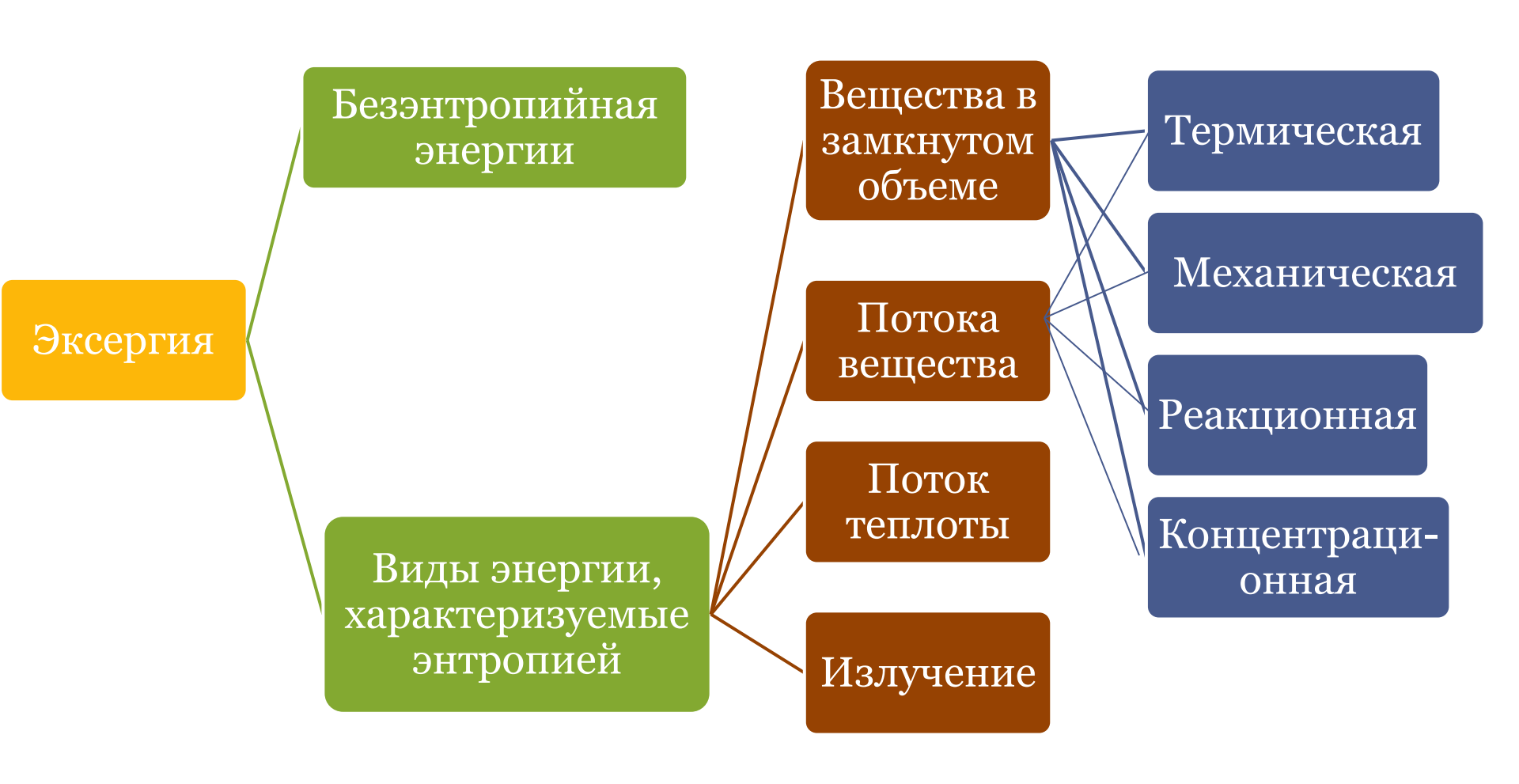
- Эксергия видов энергий, характеризуемых энтропией
 - эксергия вещества в замкнутом объеме E_{ν} , Дж; e_{ν} , Дж/кг
 - эксергия потока вещества Е, Дж; е, Дж/кг
 - эксергия потока теплоты $E_{_{\mathrm{O}}}$, Дж; $e_{_{\mathrm{Q}}}$, Дж/кг
 - эксергия потока излучения $E_{_{\rm u}}$, Дж; $e_{_{\rm u}}$, Дж/м2

Виды эксергии и ее составляющие

- Эксергия вещества в замкнутом объеме E_v и потоке E состоит из следующих составляющих:
 - термической е_т
 - механической или (деформационной) е
 - реакционной е
 - концентрационной е

Виды эксергии и ее составляющие

- термическая ($e_{_{T}}$) + механическая ($e_{_{p}}$) = *термомеханическая* (термодеформационная, физическая)
- реакционная (e_r) + концентрационная (e_c) = $xumuveckas(hynesas)(e_{xum})$



Термодинамические основы работы теплоэнергетических установок

Виды эксергии и ее составляющие

- оболочка
 - непроницаемая
 - неподвижная
 - способна деформироваться
 - проводить теплоту
- «нулевое» состояние, т.е. полное равновесие как внутри системы, так и с окружающей средой. $u_{o.c.}; s_{o.c.}; p_{o.c.}; v_{o.c.}; T_{o.c.}$
- *u*;*s*;*p*;*v*;T

- Взаимодействие системы и среды
 - термическое
 - механическое
- Максимальная полезная работа, которую может совершить вещество в замкнутом объеме, равна работе расширения (сжатия) за вычетом работы, затрачиваемой веществом на преодоление давления окружающей среды в обратимом процессе при *p*_{0.c.}=const

$$de_v = dl - p_{o.c.}d$$

$$de_{v} = dl - p_{o.c.}dv$$

$$dq = du + dl \rightarrow dl = dq - du$$

$$dq = T_{o.c.}ds$$

$$de_{v} = T_{o.c.}ds - du - p_{o.c}d$$

$$e_{v} = T_{o.c.}(s_{o.c} - s) - (u_{o.c} - u) - p_{o.c}(v_{o.c} - v)$$

$$e_{v} = (u - u_{o.c}) - T_{o.c.}(s - s_{o.c}) + p_{o.c}(v - v_{o.c})$$

Так как параметры окружающей среды постоянны, обозначим

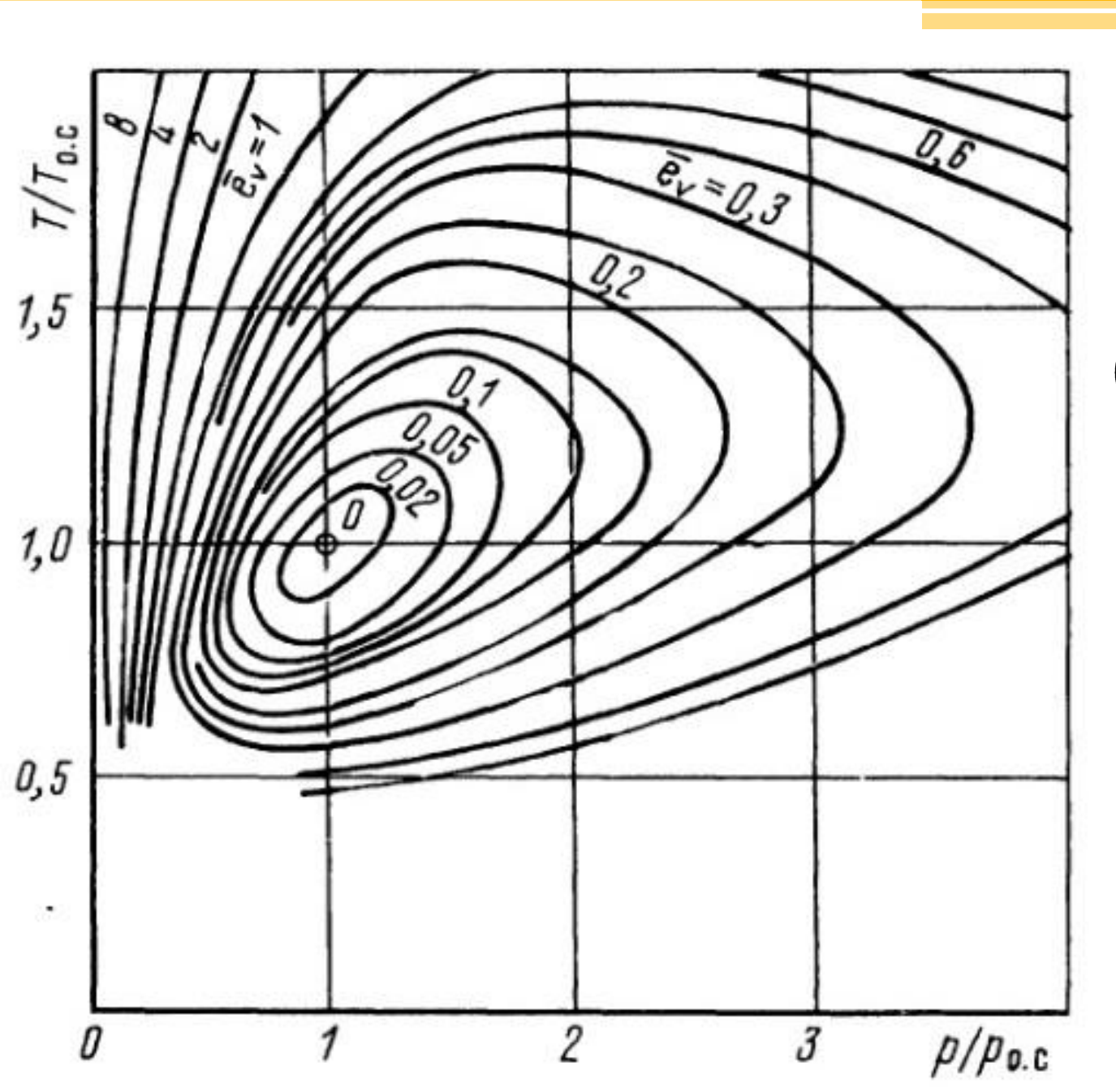
$$u_{\text{o.c.}} + \mathbb{C}_{\text{o.c.}} s_{\text{o.c.}} + p_{\text{o.c}} v_{\text{o.c.}} =$$

При определении эксергии при переходе из состояния 1 в состояние 2 значение величины С не меняется, тогда: $\Delta e_{x} = \Delta u - T_{c} \quad \Delta s - p \quad \Delta \upsilon$

$$e_{v \otimes c} - e_{v \otimes c} = (u_2 - u_{1c}) - T$$
 $(s - s) - p$ $(v - v)$

Для всей массы вещества, находящейся в замкнутом объеме

$$E_{\upsilon} = me_{\upsilon}$$



$$e_{v}^{-} = \frac{e_{v}^{-}}{RT_{o.c.}}$$

$$0 \le e_v \le +\infty$$

- оболочка
 - непроницаемая
 - подвижная
 - способна деформироваться
 - проводить теплоту
- «нулевое» состояние, т.е. полное равновесие как внутри системы, так и с окружающей средой. $u_{\text{o.c.}}; s_{\text{o.c.}}; p_{\text{o.c.}}; v_{\text{o.c.}}; T_{\text{o.c.}}$
- u;s;p; υ ;T

- Взаимодействие системы и среды
 - термическое
 - механическое
- Функция е отличается от функции е количеством работы, связанной с перемещением потока вещества:

$$p\upsilon - p_{o.c}\upsilon = \upsilon(p - p_{o.c})$$

$$e = (u - u_{o.c}) - T_{o.c.}(s_{o.c} - s) + p_{o.c}(v - v_{o.c}) + v(p - p_{o.c})$$
$$e = (u - u_{o.c}) - T_{o.c.}(s - s_{o.c}) + pv - p_{o.c}v_{o.c}$$

С учетом, что h = u + pv

$$e = h - h_{o.c} - T_{o.c.}(s - s_{o.c})$$

В дифференциальной форме:

$$de = dh - T_{o.c.}ds$$

Так как параметры окружающей среды постоянны, обозначим

$$h_{\text{o.c.}} + T_{\text{o.c.}} s_{\text{o.c.}} = C$$

При определении эксергии при переходе из состояния 1 в состояние 2

$$\Delta e = \Delta h - T_{o.c.} \Delta s$$

$$e_{ac} - e_1 = h_{1} - h_2 - T \quad (s - s)$$

Для всего потока вещества при его расходе m:

$$E = me$$

Для идеального газа с учетом

$$dh = c_p dT$$

$$ds = c_p \frac{dT}{T} - R \frac{dp}{p}$$

$$e = c_p \left(T - TR_{o.o} \right) - T_{o.c} \left[\int_{p} \ln \frac{T}{T_{o.c}} - \ln \frac{p}{p_{o.c}} \right]$$

Для изотермического потока идеального газа

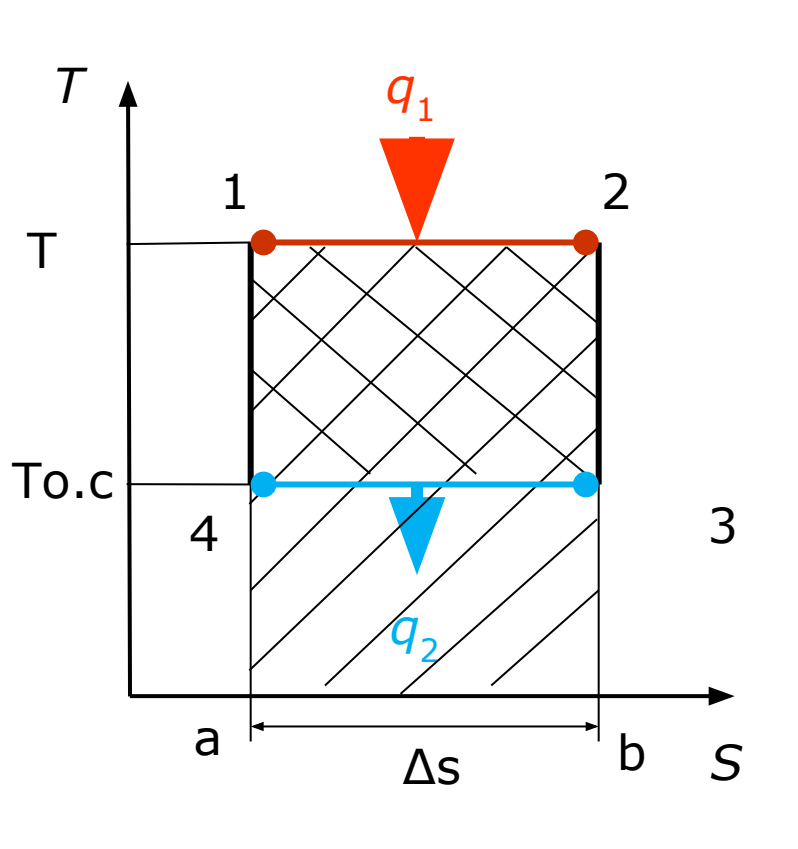
$$e = T_{o.c} R \ln \frac{p}{p_{o.c}}$$

$$-\infty \le e \le +\infty$$

Эксергия потока теплоты

• Эксергия теплоты называется максимальная работа, которая может быть получена за счет теплоты, переданной от горячего источника тепла с температурой T к рабочему телу, при условии, что холодным источником является окружающая среда с температурой $T_{\rm oc}$

Эксергия потока теплоты



• Воспринимаемая теплота рабочим телом от горячего источника

$$q_1 = \pi \Delta \pm 23 ba 41$$

• Эксергия теплоты

$$e_q = l = q_{\phi.c.}$$
 Тл. 1234

• Непревратимая в работу часть теплоты

$$T_{oc} \Delta s$$

Эксергия потока теплоты

термический КПД цикла Карно

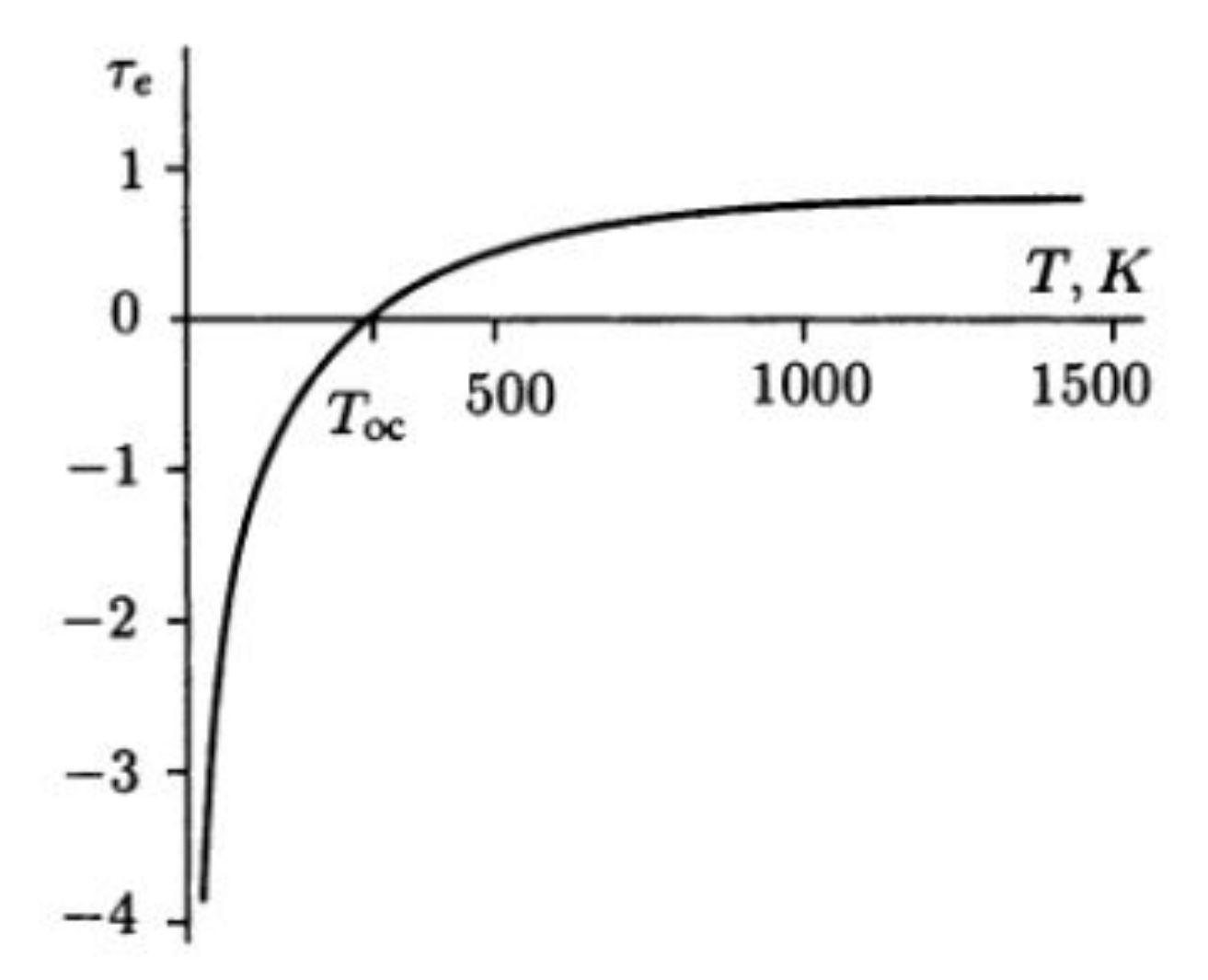
$$\eta_{t} = \frac{l}{q_{1}} = \frac{T\Delta s - T_{o.c.}\Delta s}{T\Delta s} = 1 - \frac{T_{o.c}}{T}$$

откуда
$$e_q = 1 \pm \frac{1}{4} (34 + \frac{T_{o.c}}{T}) = 0$$

для всего теплового потока

$$E_q = Q \tau_q$$

$$\tau_q = 1 - \frac{T_{\text{o.c}}}{T} \ \text{- эксергетическая температурная}$$
 функция (коэффициент работоспособности теплоты)



Физический смысл коэффициента работоспособности теплоты

• Количество работы, которую можно получить в идеальном прямом цикле от единицы теплоты

$$\tau_{q} = 1 - \frac{I_{o.c}}{T}$$

$$\tau_{q} = \eta_{t}$$

$$0 < 0 \frac{T_{o.c}}{T} \le 1,1 \qquad \le \tau_{q} < \frac{T_{o.c}}{T} > 1,0 \qquad \tau_{q}$$

Эксергия потока теплоты при p=const

$$q_1 = \Delta h$$

Тогда
$$e_q = q_1(1 - \frac{T_{o.c}}{T}) = \Delta h(1 - \frac{T_{o.c}}{T}) = \Delta h - \Delta h \frac{T_{o.c}}{T} = \Delta h - q_{\phi.c} \frac{T_{o.c}}{T} = \Delta h - \Delta sT$$

Эксергию теплового потока в процессах теплообмена при постоянном давлении можно вычислить как разность потока вещества до и после изменения температуры

Эксергия потока излучения

• Эксергия потока излучения $e_{_{\text{и}}}$ определяет максимальную работу, которая может быть выполнена во время обратимого процесса приведения этого излучения в состояние равновесия с окружающей средой (при $T_{0.c}$)

$$e_{\text{M}} = \varepsilon C_0 \frac{3T^4T + T_{\text{o.c}}^4 - 4}{3}$$

 ε - степень черноты излучающей поверхности $C_0 = 1{,}38 \cdot 10^{-23}$ - постоянная Стефана-Больцмана

$$0 \le e_{_{\rm M}} \le +\infty$$

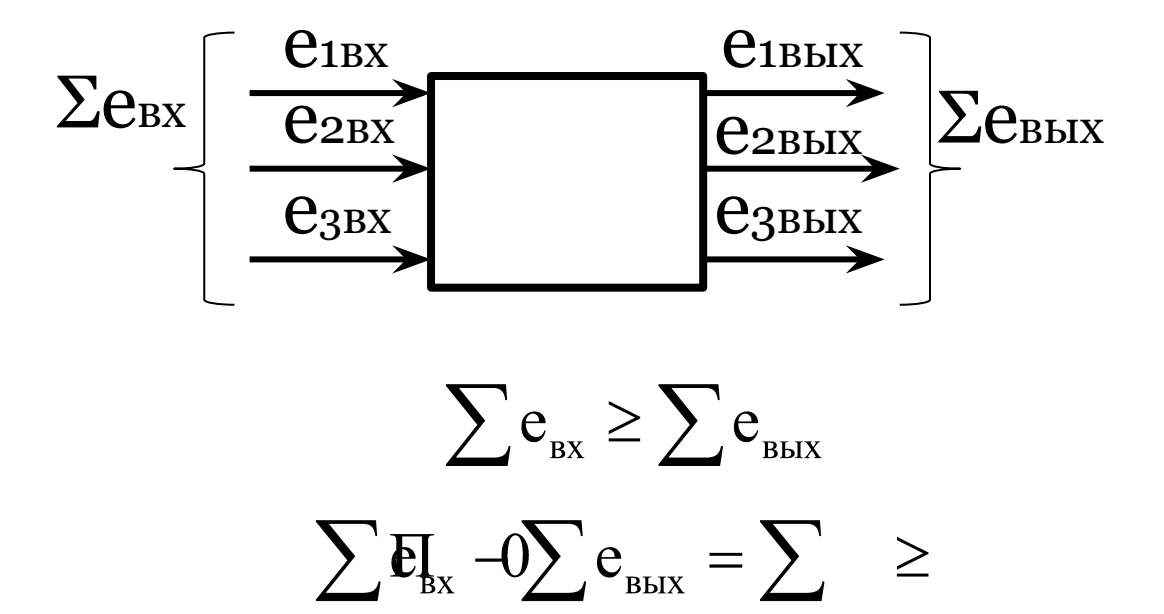
Эксергия потока излучения

- T=0,63To.c, то энергия и эксергия излучения равны
- Т>0,63Т о.с, то эксергия излучения меньше его энергии
- T<0,63T о.с, эксергия излучения больше его энергии

Термодинамические основы работы теплоэнергетических установок

Эксергетический баланс Эксергетические потери

Эксергетические балансы и эксергетическая производительность

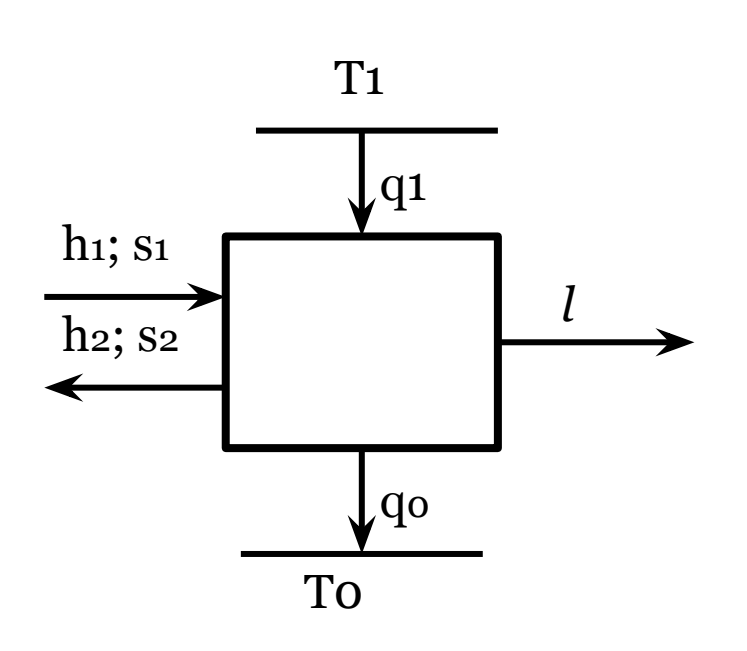


• В обратимых процессах $\sum \Pi = 0$ $\sum e_{_{BX}} = \sum e_{_{BMX}}$

$$\eta_{\rm e} = \frac{\sum E_{_{
m BMX}}}{\sum E_{_{
m BX}}} = \frac{\sum E_{_{
m BX}} - \sum \Pi}{\sum E_{_{
m BX}}} = 1 - \frac{\sum \Pi}{\sum E_{_{
m BX}}}$$

Виды потерь

- Внутренние потери связанные с необратимостью процессов, протекающих внутри системы (трение)
- Внешние потери связанные с условиями взаимодействия системы с окружающей средой и другими источниками и приемниками энергии (потери через тепловую изоляцию).



- Когда полезная работа будет максимальной?
 - Когда в системе протекают обратимые процессы
- Все процессы в системе протекают необратимо
- Необходимо рассчитать уменьшение полезной работы

- Установка, работающая обратимо
- Установка, работающая необратимо
 - Равное количество подведенной теплоты Q1
 - Количество и параметры подведенного вещества равны
 - Количество и параметры отводимого вещества равны
 - Меняется количество отводимого тепла Q_0 (количество отведенного тепла для установки, работающей обратимо Q_{0s})
 - Работа, совершаемая обратимой установкой максимальна l_{Makc}

• Энергетический баланс реальной установки

$$h_1 + q_1 = h_2 + q_0 + l$$

$$l = q_1 - h_1 - h_2 - q_0$$

• Энергетический баланс идеальной установки

$$\mathbf{h}_{\text{Makc}} + \mathbf{q}_{1} = \mathbf{h}_{2} + \mathbf{q}_{0s} + l$$

$$l_{\text{Makc}} = \mathbf{q}_{1} - \mathbf{h}_{1} - \mathbf{h}_{2} - \mathbf{q}_{0s}$$

• Потери работы, вызванные необратимостью

$$\Delta e = l_{\text{Make}} - l = q_0 - q_{0s}$$

• Сумма приращений энтропии (для реальной установки) $\Delta s = -\frac{q_1}{T} + s_2 - s_1 + \frac{q_0}{T_0}$

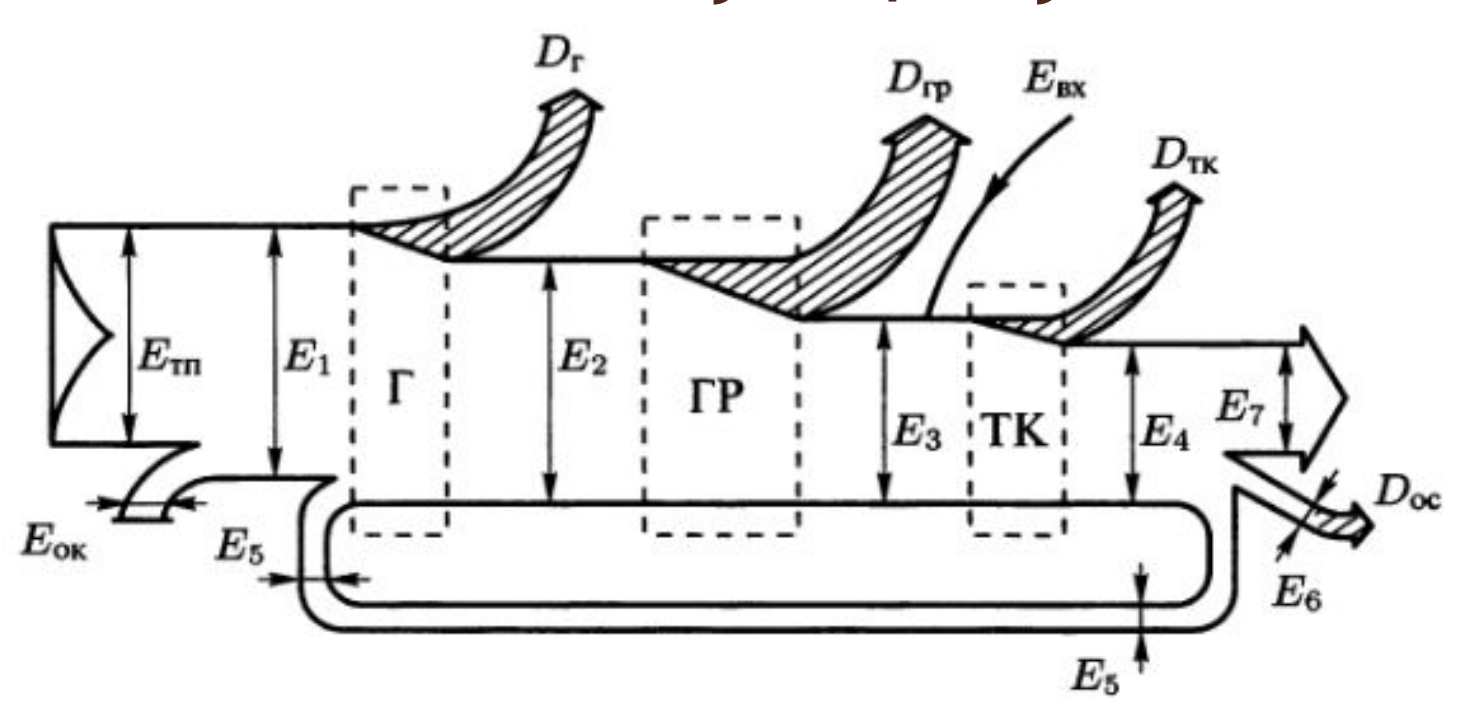
• Сумма приращений энтропии (для идеальной установки)

$$0 = -\frac{q_1}{T} + s_2 - s_1 + \frac{q_{0s}}{T_0}$$

$$\Delta sT_0 = q_0 - q_{0s} = \Delta e$$

$$\Delta e = (s_2 - s_1)T_0$$

Эксергетический анализ топливоиспользующих установок



$$\eta_{erp} = \frac{E_3}{E_2}$$

$$\eta_e = \frac{E_7}{E_{_{\mathrm{TII}}} - E_{_{\mathrm{OK}}} - E_{_{\mathrm{BX}}}}$$

Эксергия топлива

• жидкое топливо

$$e_{_{\mathrm{K}}} \approx 0.975q_{_{\mathrm{B}}}^{\mathrm{p}}$$

• газообразное топливо

$$e_{\scriptscriptstyle \Gamma} \approx 0.95 q_{\scriptscriptstyle \rm B}^{\rm p}$$

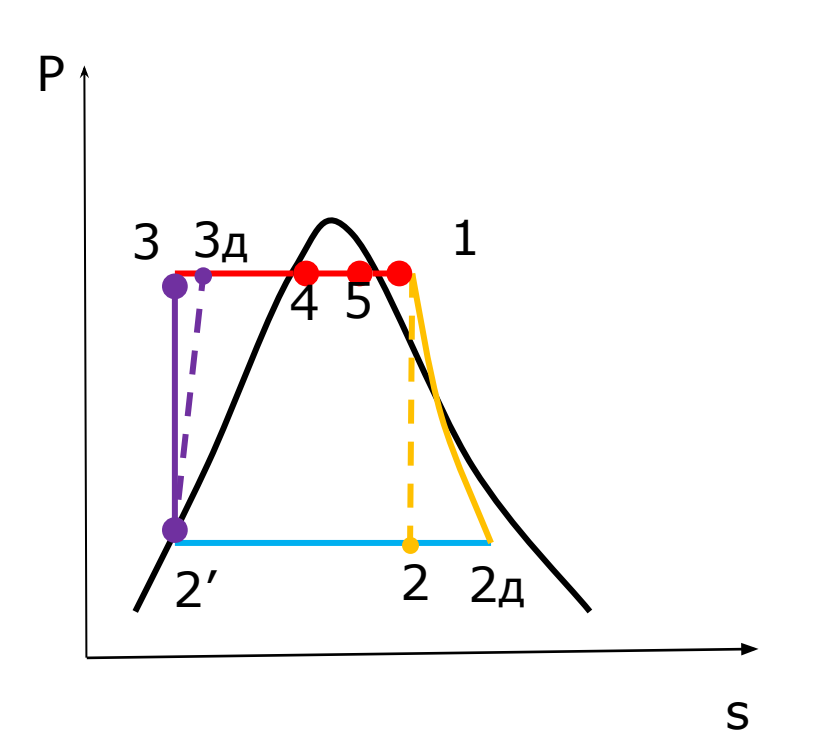
• каменный уголь

$$e_{\scriptscriptstyle \mathrm{TB}} \approx 1,08q_{\scriptscriptstyle \mathrm{B}}^{\mathrm{p}}$$

• бурый уголь

$$e_{_{\rm TB}} \approx (1,15...1,2)q_{_{\rm B}}^{\rm p}$$

Потери эксергии Паротурбинная установка



- 1-2 теоретическое расширение пара в турбине
- 1-2д реальное расширение пара в турбине
- 2д-2' процесс конденсации пара в конденсаторе
- 2'-3 теоретическое сжатие в насосе
- 2'-3 практическое сжатие в насосе
- 3-1 подвод теплоты к рабочему телу в котле

• В котельную установку входит поток воды с температурой $T_{_{\Pi B}}$ и давлением $P_{_{\Pi B}}$:

$$e_{\text{BX}}^{\text{K}} = [h_{\text{IIB}}(-h_{\text{o.c}}) -)_{\text{o.c}} s_{\text{IIB}} - s_{\text{o.c}}$$

• Суммарная эксергия топлива и окислителя

$$e_{q_{\mathrm{BX}}}^{\mathrm{\scriptscriptstyle K}} = e_{_{\mathrm{TB}}} + _{_{\mathrm{OK}}}$$

• Из котла выходит пар с температурой T_1^0 и давлением P_1^0

$$e_{\text{вых}}^{\text{K}} = (h_1^0 + h_{\text{o.c}}) -)_{\text{o.c}} s_1^0 - s_{\text{o.c}}$$

 В котле полезная работа не производится, тогда потери в котле

$$e_{\text{\tiny BX}}^{\text{\tiny K}} + e_{\text{\tiny QBX}}^{\text{\tiny K}} = \Delta e^{\text{\tiny K}} + e_{\text{\tiny BLIX}}^{\text{\tiny K}}$$

$$\Delta e^{\kappa} = (e_{\text{\tiny BX}}^{\kappa} + e_{\text{\tiny QBX}}^{\kappa}) - e_{\text{\tiny BBIX}}^{\kappa}$$

• Удельная эксергия теплоты, полученной при сгорании топлива при температуре Тг:

$$e_q = Q_{\rm H}^{\rm p} \left(1 - \frac{\mathrm{T_{o.c.}}}{T_{_{\Gamma.}}} \right)$$

• Потери эксергии из-за потерь тепла в окружающую среду:

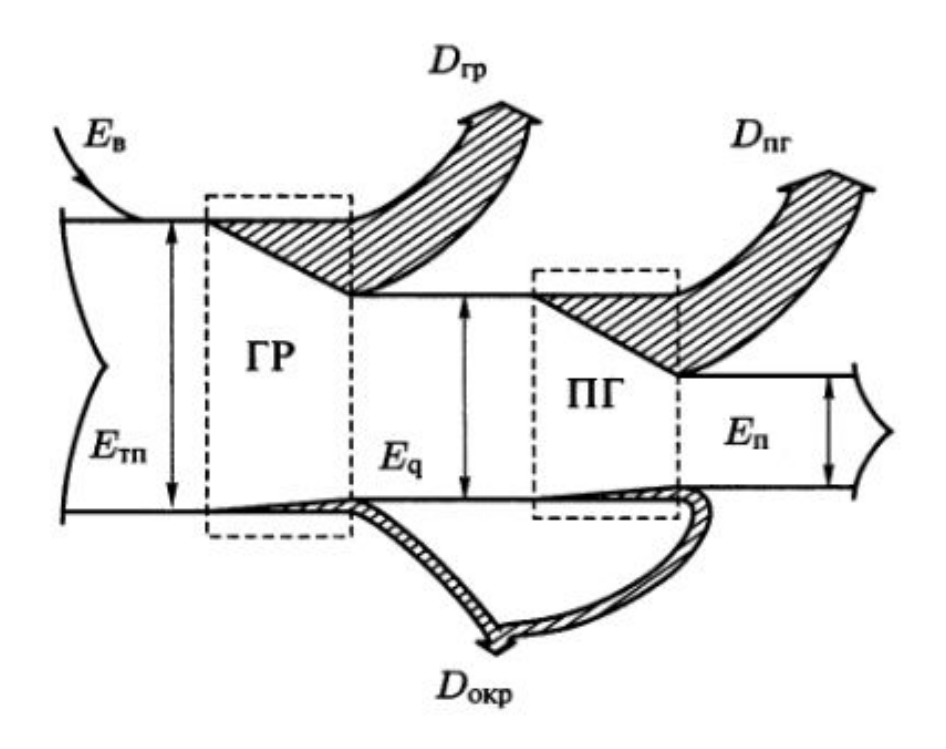
$$D_{\text{okp}} = (1 - \eta) E_q$$

• Потери эксергии при переходе эксергии топлива в эксергию теплоты

$$D_{\rm rp} = E_{\scriptscriptstyle
m TII} - E_{\scriptstyle q}$$

• Потери эксергии при передаче полученной теплоты к образующемуся водяному пару:

$$D_{\text{nf}} = E_q - D_{\text{okp}} - E_{\text{n}}$$



$$\eta_e = \frac{E_{_{\Pi}}}{E_{_{\rm B}} + E_{_{\rm TII}}}$$

Потери эксергии. Паропровод

• Эксергия пара на входе в паропровод равна эксергии пара на выходе из котла

$$e_{\scriptscriptstyle \mathrm{BX}}^{\scriptscriptstyle \Pi\Pi}=e_{\scriptscriptstyle \mathrm{BMX}}^{\scriptscriptstyle \mathrm{K}}$$

• Эксергия пара с температурой T_1 и давлением P_1 на выходе из паропровода

$$e_{\text{вых}}^{\text{пп}} = (h_1 - h_{\text{o.c}}) - T_{\text{o.c}}(s_1 - s_{\text{o.c}})$$

Потери эксергии. Паропровод

• В паропроводе полезная работа не производится, тогда потери в паропроводе

$$\Delta e^{\text{III}} = e_{\text{BX}}^{\text{III}} - e_{\text{BHX}}^{\text{III}}$$

• Эксергетический КПД паропровода

$$\eta_{\rm e}^{\rm mn} = \frac{E_{\rm BMX}^{\rm mn}}{E_{\rm BX}^{\rm mn}}$$

- Пар на выходе из турбины имеет температуру Т_{2д} и давление Р_{2д}

$$e_{\text{вых}}^{\text{T}} = (h_{2\pi} - h_{\text{o.c}}) - T_0(s_{2\pi} - s_{\text{o.c}})$$

• Турбогенераторная установка производит работу $l_{\rm e}$ (работа, передаваемая внешнему потребителю (электроэнергия, отдаваемая в сеть)) $l_{\rm e} = q^{\rm ycr}_{\eta_{\rm e}}$

 $q^{\mathfrak{p}} = Q_{\scriptscriptstyle ext{H}}$ - теплота, выделяющаяся при сгорании топлива

 $\eta_{\rm e}^{
m yc\tau}$ - эффективный абсолютный КПД всей теплосиловой установки

• Потери эксергии в турбогенераторе

$$e_{\text{bx}}^{\text{T}} = e_{\text{bhx}}^{\text{T}} + l_{\text{e}} + \Delta e^{\text{T}}$$

$$\Delta e^{\mathrm{T}} = (e_{\mathrm{BX}}^{\mathrm{T}} - e_{\mathrm{BMX}}^{\mathrm{T}}) - l_{\mathrm{e}}$$

• Потери эксергии, обусловленные механическими потерями в турбине

$$\Delta e_{_{\rm M}}^{^{\rm T}} = (h_1 - h_{_{2\,{\rm II}}})(1 - \eta_{_{\rm M}})$$

• Потери эксергии, обусловленные механическими и электрическими потерями в генераторе $\Delta e_{_{\Gamma}}^{^{\mathrm{T}}} = (h_{\!1} - h_{\!2,\pi}) \eta_{_{\mathrm{M}}} (1 - \eta_{_{\mathrm{\Gamma}}})$

- Остальные вызваны необратимым характером процесса расширения пара в турбине
- Эксергетический КПД турбогенераторной установки

$$\eta_e^{\mathrm{T}} = \frac{L_{\mathrm{e}}}{E_{\mathrm{BX}}^{\mathrm{T}} - E_{\mathrm{BMX}}^{\mathrm{T}}} = 1 - \frac{\Delta E^{\mathrm{T}}}{E_{\mathrm{BX}}^{\mathrm{T}} - E_{\mathrm{BMX}}^{\mathrm{T}}}$$

Потери эксергии. Конденсатор

• Эксергия пара, поступающего из турбины в конденсатор

• Эксергия конденсата, выходящего из конденсатора

$$e_{\text{вых}}^{\text{конд}} = (h_{2'} - h_{\text{o.c}}) - T_{\text{o.c}}(s_{2'} - s_{\text{o.c}})$$

• В конденсаторе полезная работа не производится, тогда потери эксергии

$$\Delta e^{\text{конд}} = e_{\text{вх}}^{\text{конд}} - e_{\text{вых}}^{\text{конд}}$$

Потери эксергии. Насос

• Эксергия воды, поступающей в насос

$$e_{\scriptscriptstyle \mathrm{BX}}^{\scriptscriptstyle \mathrm{H}}=e_{\scriptscriptstyle \mathrm{BbIX}}^{\scriptscriptstyle \mathrm{KOHJ}}$$

• Эксергия воды на выходе из насоса

$$e_{\scriptscriptstyle
m BMX}^{\scriptscriptstyle
m H}=e_{\scriptscriptstyle
m BX}^{\scriptscriptstyle
m K}$$

• Для привода насоса подводится работа

$$l_{_{
m H}} = h_{_{
m 3}{}_{
m I}} - h_{_{
m 2}}$$

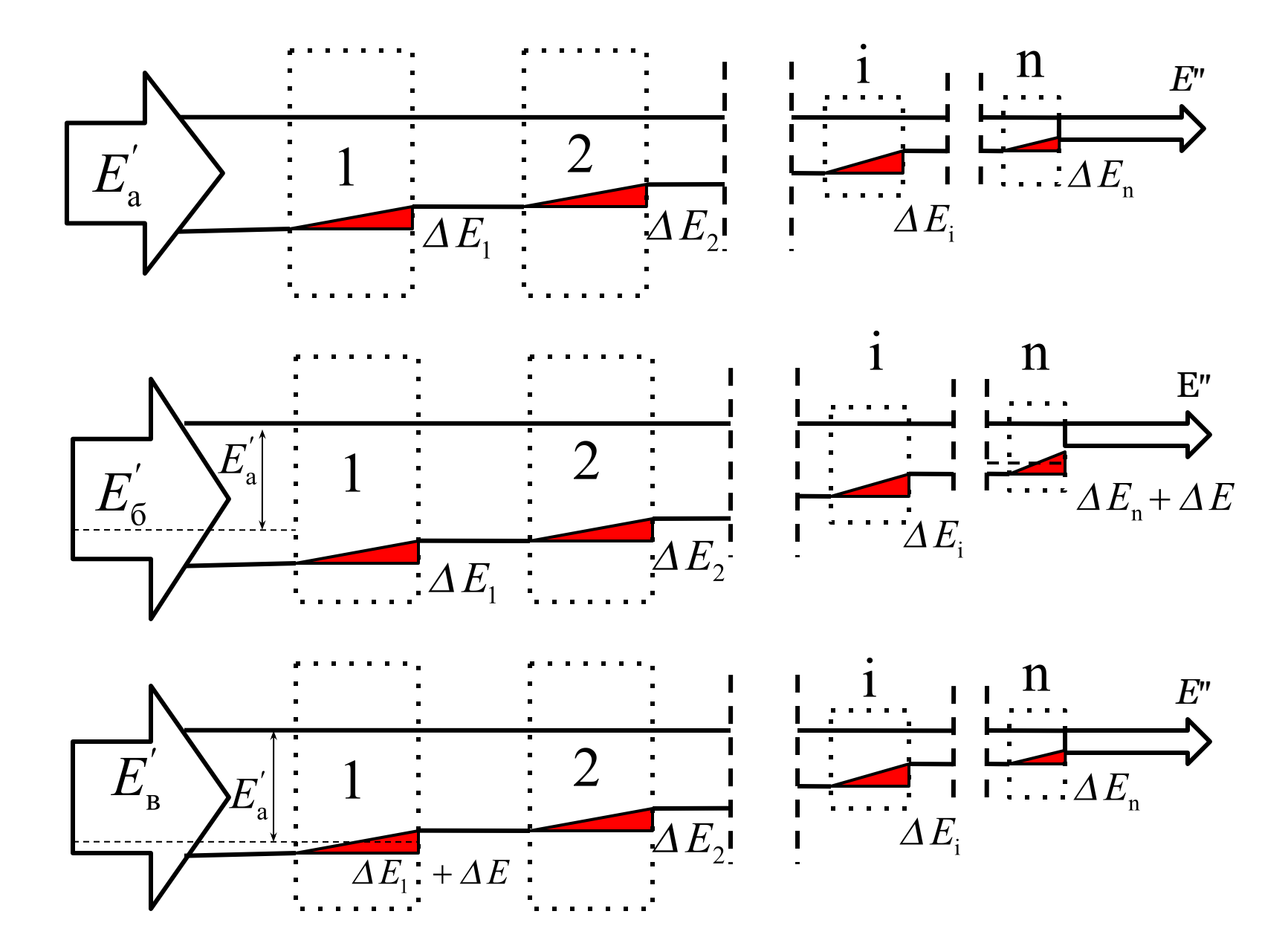
• Потеря эксергии воды в насосе

$$e_{\scriptscriptstyle \mathrm{BX}}^{\scriptscriptstyle \mathrm{H}} + l_{\scriptscriptstyle \mathrm{H}} = e_{\scriptscriptstyle \mathrm{BMX}}^{\scriptscriptstyle \mathrm{H}} + \Delta e^{\scriptscriptstyle \mathrm{H}}$$

$$\Delta e^{\scriptscriptstyle \mathrm{H}} = e_{\scriptscriptstyle \mathrm{RX}}^{\scriptscriptstyle \mathrm{H}} - e_{\scriptscriptstyle \mathrm{RMX}}^{\scriptscriptstyle \mathrm{H}} + l_{\scriptscriptstyle \mathrm{H}}$$

• Эксергетический КПД насоса

$$oldsymbol{\eta}_e^{\scriptscriptstyle ext{T}} = rac{E_{\scriptscriptstyle ext{BMX}}^{\scriptscriptstyle ext{H}} - E_{\scriptscriptstyle ext{BX}}^{\scriptscriptstyle ext{H}}}{L_{\scriptscriptstyle ext{H}}}$$



Роль потерь эксергии в разных элементах системы

• Дополнительная первичная эксергия

$$\Delta E_{i}^{'} = (\Delta E)_{i} \frac{1}{\prod_{i} \eta_{i}}$$

• Для первого элемента

$$\Delta E_1^{'} = (\Delta E) \frac{1}{\eta_1}$$

• Для элемента n

$$\Delta E_{\rm n}' = (\Delta E) \frac{1}{\eta_1 \eta_2 \eta_{3...} \eta_{\rm n}}$$

$$\frac{\Delta E_{\mathrm{n}}^{'}}{\Delta E_{\mathrm{l}}^{'}} = \frac{\eta_{\mathrm{l}}}{\prod_{i}^{\mathrm{n}} \eta_{i}} = \frac{1}{\eta_{2} \eta_{3} ... \eta_{\mathrm{n}}}$$